

## Projekt 1 STP

### Adam Misiak 310204

#### Zadanie 25

Proces dynamiczny opisany jest transmitancją ciągłą:

$$G(s) = \frac{(s+0,5)(s+5,5)}{(s+6)(s+7)(s+8)} \quad (1)$$

Po wymnożeniu nawiasów transmitancja  $G(s)$  opisana jest wzorem (2)

$$G(s) = \frac{4s^2 + 24s + 11}{4s^3 + 84s^2 + 584s + 1344} \quad (2)$$

#### 1) Wyznaczyć dwie wersje modeli ciągłych w przestrzeni stanu.

Do wyznaczenia pierwszego modelu ciągłego w przestrzeni stanu używam polecenia **tf2ss** w następujący sposób:

$$[A, B, C, D] = \text{tf2ss}([0 \ 4 \ 24 \ 11], [4 \ 84 \ 584 \ 1344])$$

Otrzymane w ten sposób macierze **A**, **B**, **C** oraz **D** są elementem równań w przestrzeni stanu:

$$\dot{x} = Ax + Bu$$

$$y = Cx + Du$$

Otrzymane macierze to:

$$A_1 = \begin{bmatrix} -21 & -146 & -336 \\ 1 & 0 & 0 \\ 0 & 1 & 0 \end{bmatrix} \quad B_1 = \begin{bmatrix} 1 \\ 0 \\ 0 \end{bmatrix} \quad C_1 = [1 \ 6 \ 2,75] \quad D_1 = 0$$

Do wyznaczenia macierzy drugiego modelu ciągłego w przestrzeni stanu należy przekształcić otrzymane wcześniej macierze w następujący sposób:

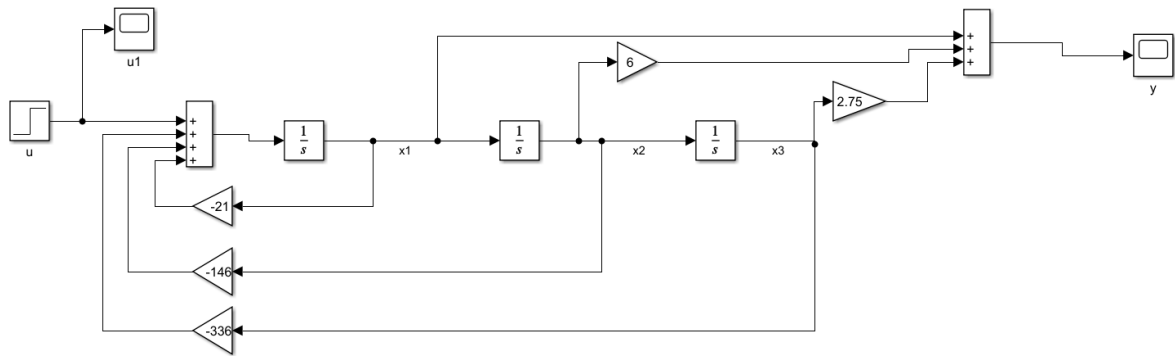
$$\mathbf{A}_2 = \mathbf{A}_1^T \quad \mathbf{B}_2 = \mathbf{C}_1^T \quad \mathbf{C}_2 = \mathbf{B}_1^T \quad \mathbf{D}_2 = \mathbf{D}_1^T$$

Otrzymane w ten sposób macierze to:

$$\mathbf{A}_2 = \begin{bmatrix} -21 & 1 & 0 \\ -146 & 0 & 1 \\ -336 & 0 & 0 \end{bmatrix} \quad \mathbf{B}_2 = \begin{bmatrix} 1 \\ 6 \\ 2,75 \end{bmatrix} \quad \mathbf{C}_2 = [1 \quad 0 \quad 0] \quad \mathbf{D}_2 = 0$$

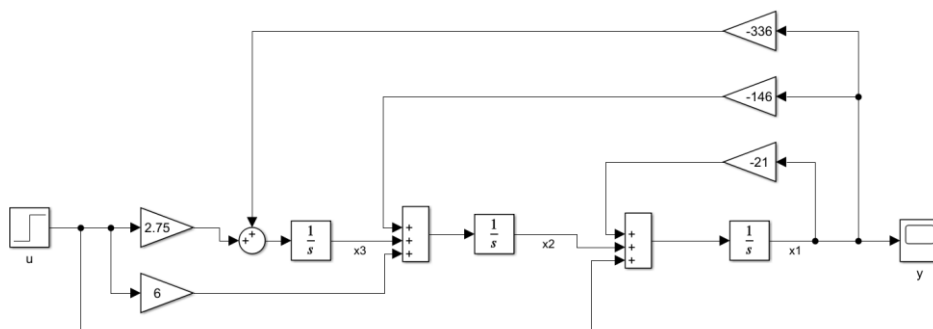
Modele graficzne:

Pierwszy model w przestrzeni stanu na rys. 1



**Rys 1.** Przedstawienie graficzne pierwszego modelu w przestrzeni stanu obrazujący stan pliku uk lad1.slx

Drugi model w przestrzeni stanu na rys. 2

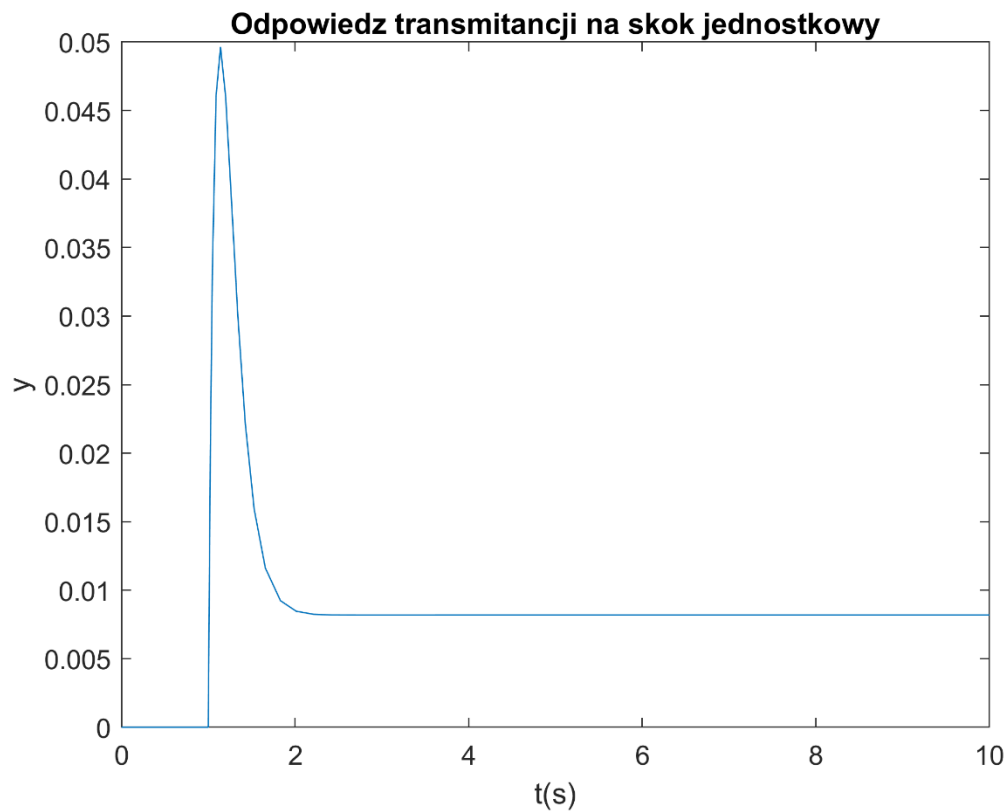


**Rys 2.** Przedstawienie graficzne drugiego modelu w przestrzeni stanu obrazujący stan pliku uk lad2.slx

## 2) Porównanie odpowiedzi skokowe transmitancji obu modeli w przestrzeni stanu.

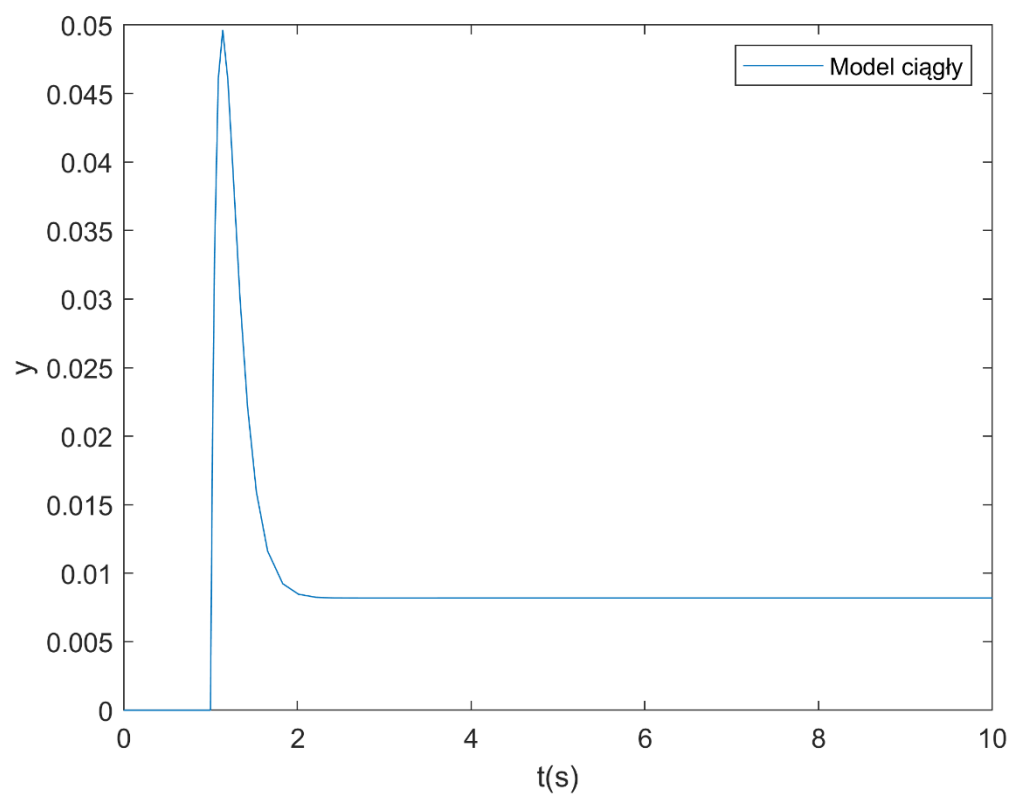
**Zerowe warunki początkowe:**

Odpowiedź skokowa transmitancji:



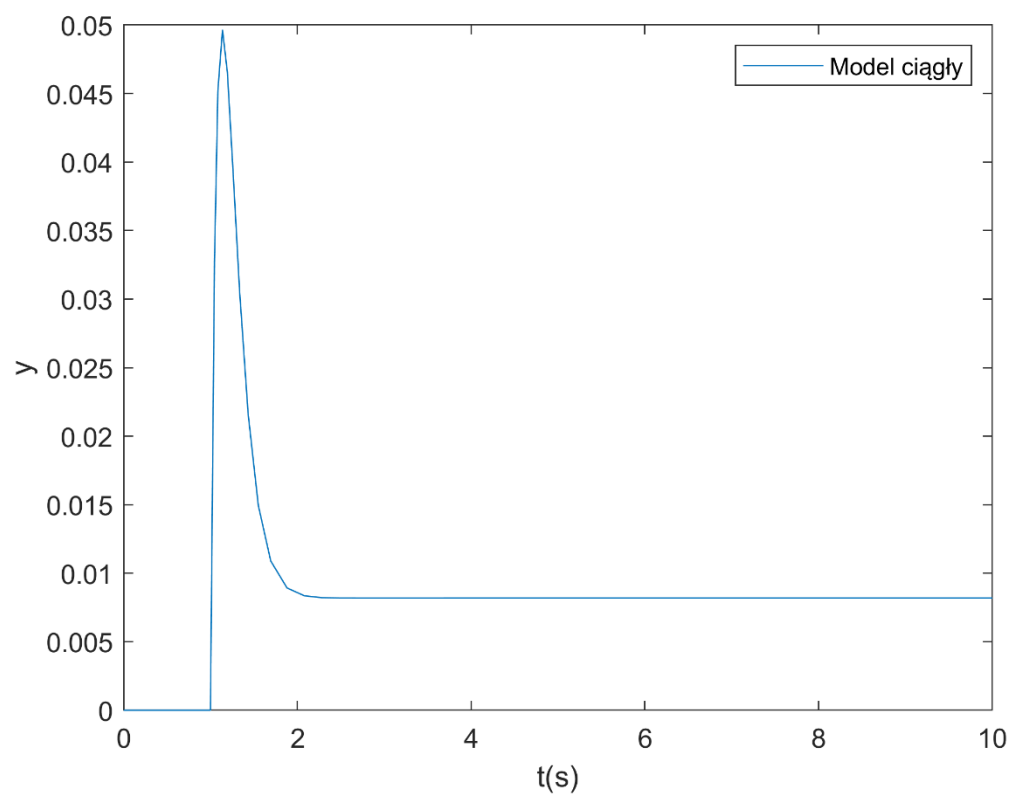
**Rys. t1** Odpowiedź skokowa transmitancji (plik: transmitancja1.slx)

## Odpowiedź skokowa modelu pierwszego



**Rys 3.** Odpowiedź skokowa transmitancji z modelu pierwszego

Odpowiedź skokowa modelu drugiego rys 4.

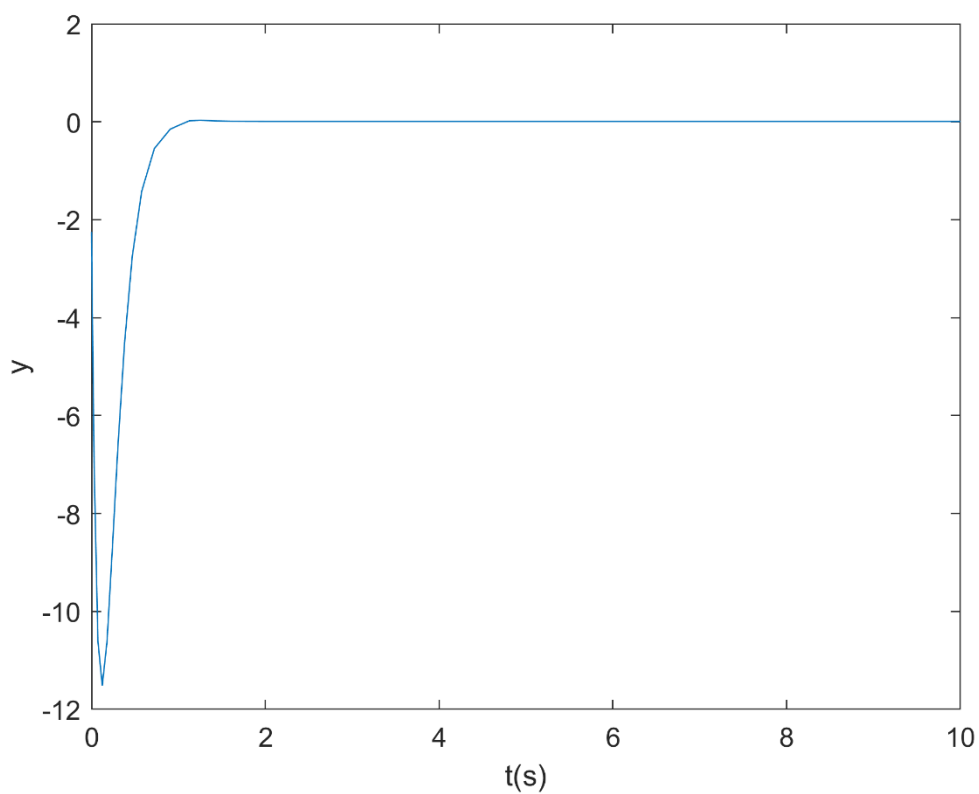


**Rys 4.** Odpowiedź skokowa transmitancji z modelu drugiego

## Niezerowe warunki początkowe:

Odpowiedź skokowa modelu pierwszego rys 5.

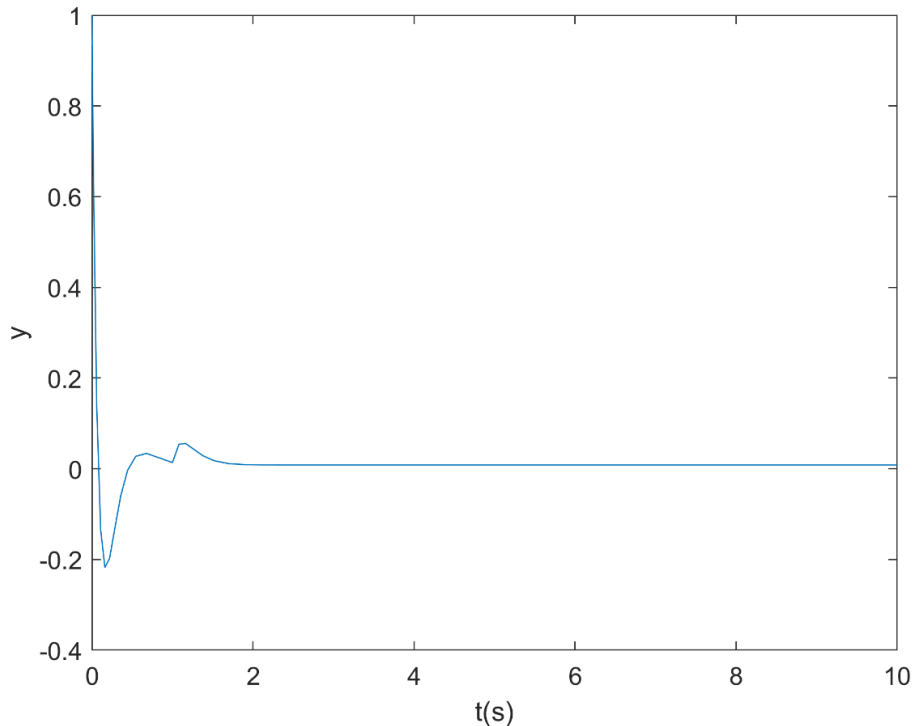
Warunki początkowe  $x = [1, -1, 1]$



**Rys 5.** Odpowiedź skokowa transmitancji z modelu pierwszego przy niezerowych warunkach początkowych

Odpowiedź skokowa modelu drugiego rys 6.

Warunki początkowe  $x = [1, -1, 1]$



**Rys 6.** Odpowiedź skokowa transmitancji z modelu pierwszego przy niezerowych warunkach początkowych

### **Wnioski:**

Jak widać odpowiedzi w przypadku zerowych warunków początkowych są jednakowe, jednakże przy niezerowych warunkach początkowych nie są one jednakowe.

Oba układy mają taką samą transmitancję, a zakłada one zerowe warunki początkowe, dlatego wtedy przebiegi są identyczne.

Nie wyklucza to jednak różnic w odpowiedzi układów dla niezerowych warunków początkowych

**Dalsze badania przeprowadzam dla pierwszej wersji modelu ciągłego w przestrzeni stanu.**

### 3) Regulator ze sprzężeniem od stanu o potrójnym biegunie układu zamkniętego.

Wyznaczanie symboliczne zależności elementów wektora K od wartości  $s_b$ .

Do wyznaczenia elementów wektora k wykorzystam równania charakterystyczne układu zamkniętego:

$$1) \det(sI - A + Bk) = 0$$

$$2) (s - s_b)^3 = 0$$

W wyniku otrzymałem wartości macierzy k:

$$k_1 = -3 \cdot s_b - 21$$

$$k_2 = 3 \cdot s_b^2 - 146$$

$$k_3 = -s_b^3 - 336$$

Sprawdzenie numeryczne dla 3 przykładowych wartości  $s_b$  za pomocą funkcji:

$$\text{acker}(A, B, [s_b \ s_b \ s_b])$$

$$S_b = -1$$

$$k_1 = -18$$

$$k_2 = -143$$

$$k_3 = -335$$

$$S_b = -3$$

$$k_1 = -12$$

$$k_2 = -119$$

$$k_3 = -309$$

$$S_b = -7$$

$$k_1 = -0$$

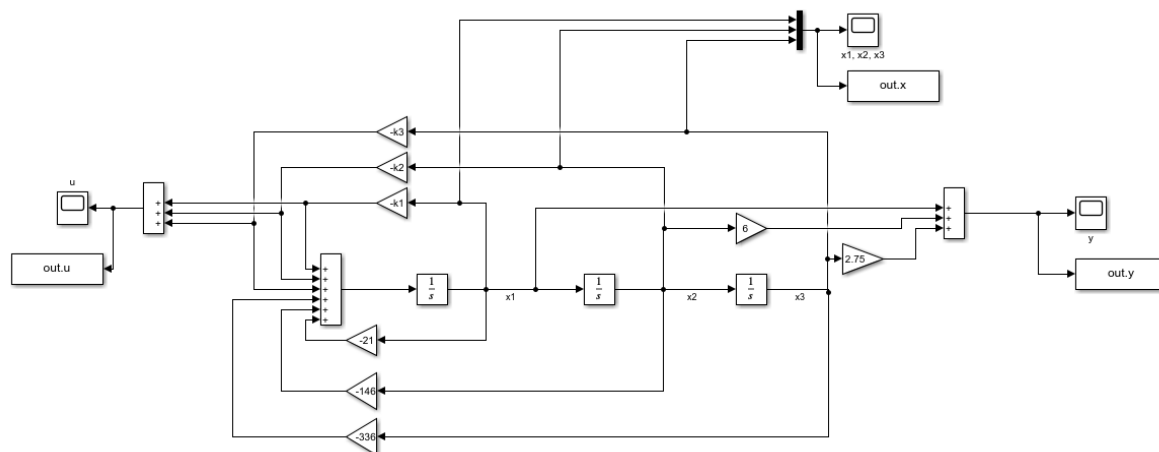
$$k_2 = 1$$

$$k_3 = 7$$



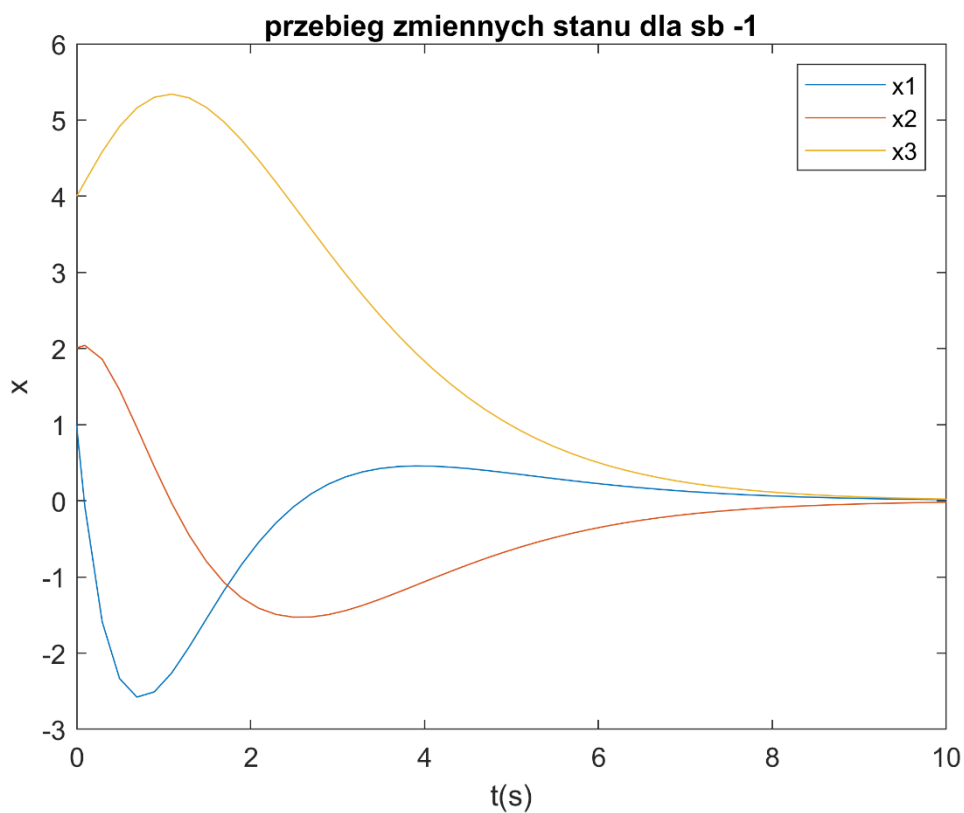
#### 4) Przeprowadzić symulację obiektu z regulatorem ze sprzężeniem od stanu (do powtórzenia)

Regulator ze sprzężeniem od stanu



**Rys 7.** Układ z regulatorem ze sprzężeniem od stanu, plik reg\_ze\_sp\_od\_stanu.slx

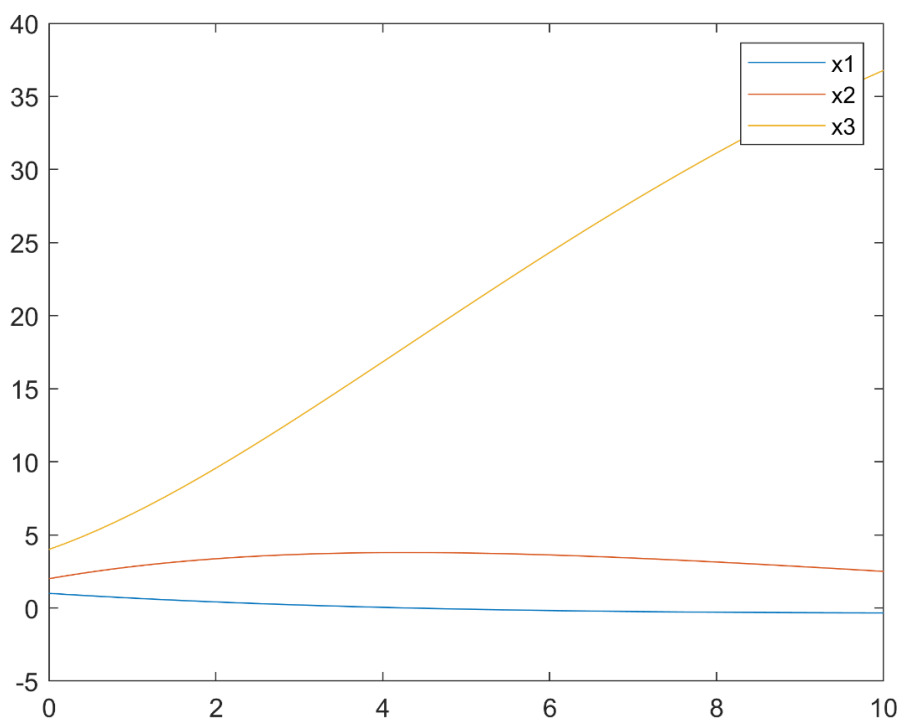
Przebiegi dla bieguna  $s_b = -1$



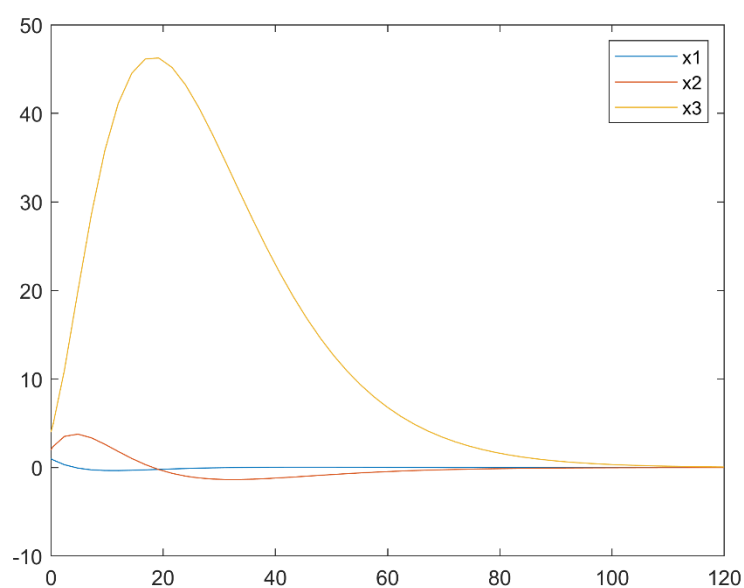
**Rys 8.** Przebiegi zmiennych stanu dla  $s_b = -1$

Przebiegi zmiennych stanu oraz sterowania dla trzech rodzajów biegunów  $s_b$ :  
Jako sensowny czas regulacji wybieram 10 sekund

Przebiegi dla bieguna wolnego  $s_b = -0,1$

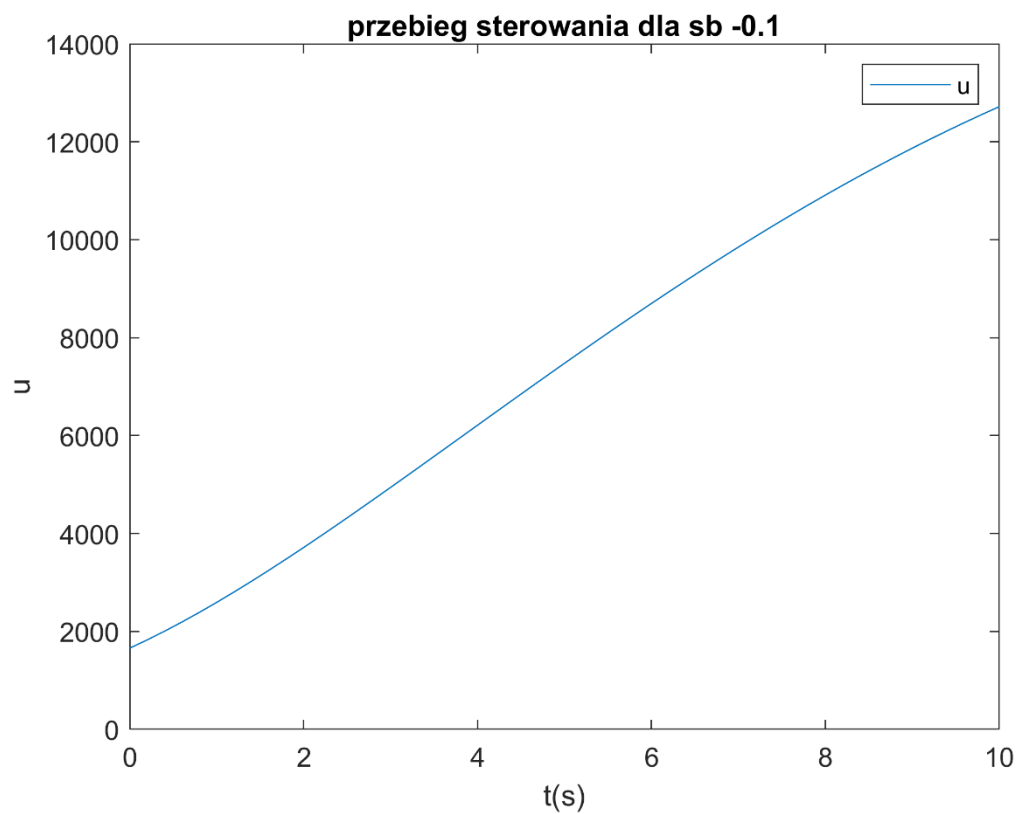


**Rys 9a.** Przebieg zmiennych stanu dla bieguna wolnego

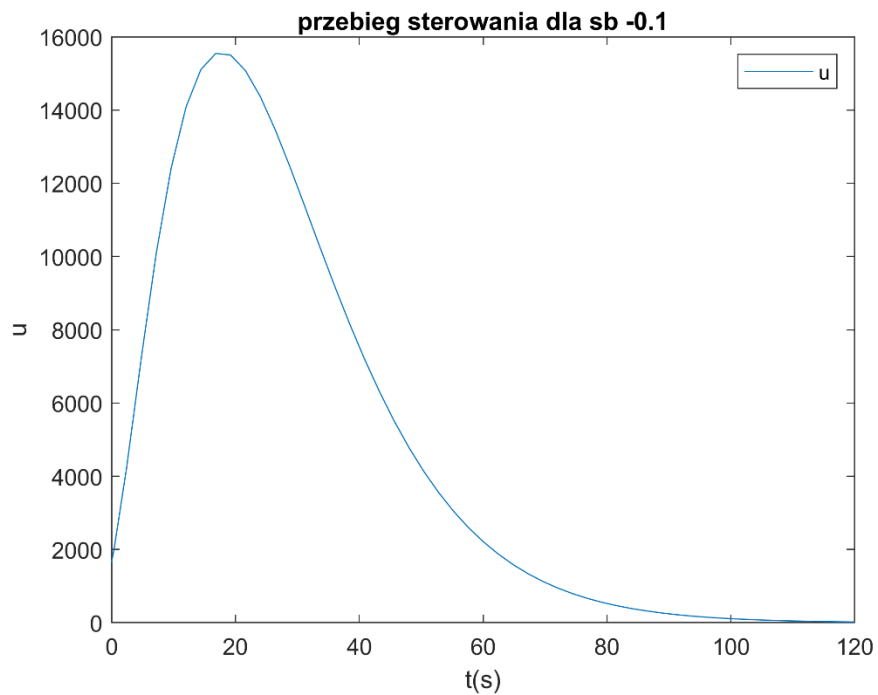


(Poglądowy przebieg dla pełnego czasu regulacji układu z wolnym biegunem)

Przebieg sterowania dla bieguna wolnego  $s_b = -0,1$

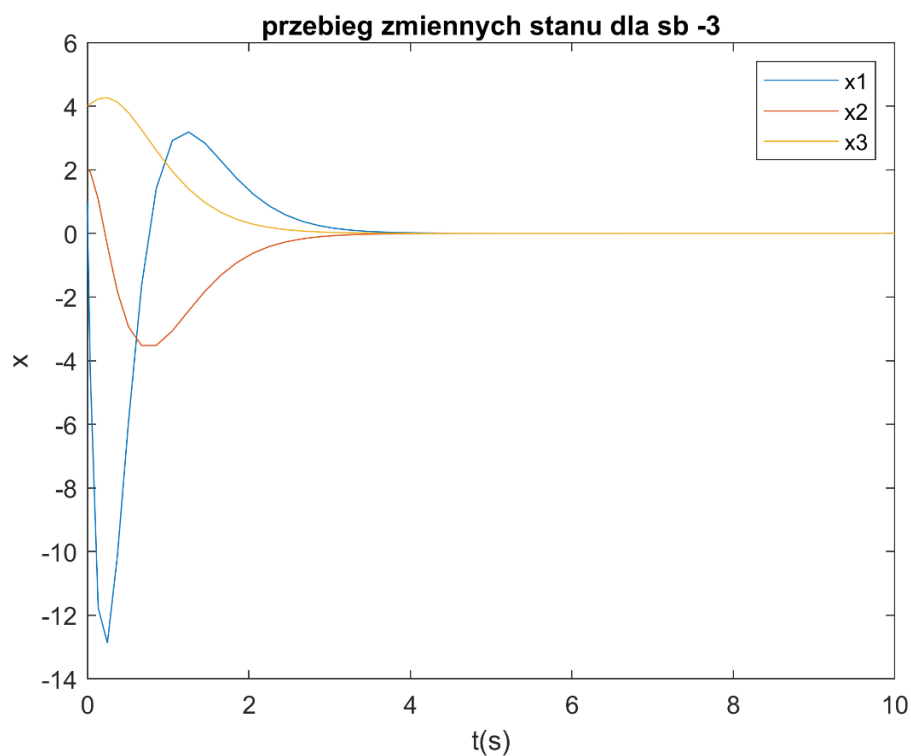


**Rys 9b.** Przebieg sterowania dla bieguna wolnego



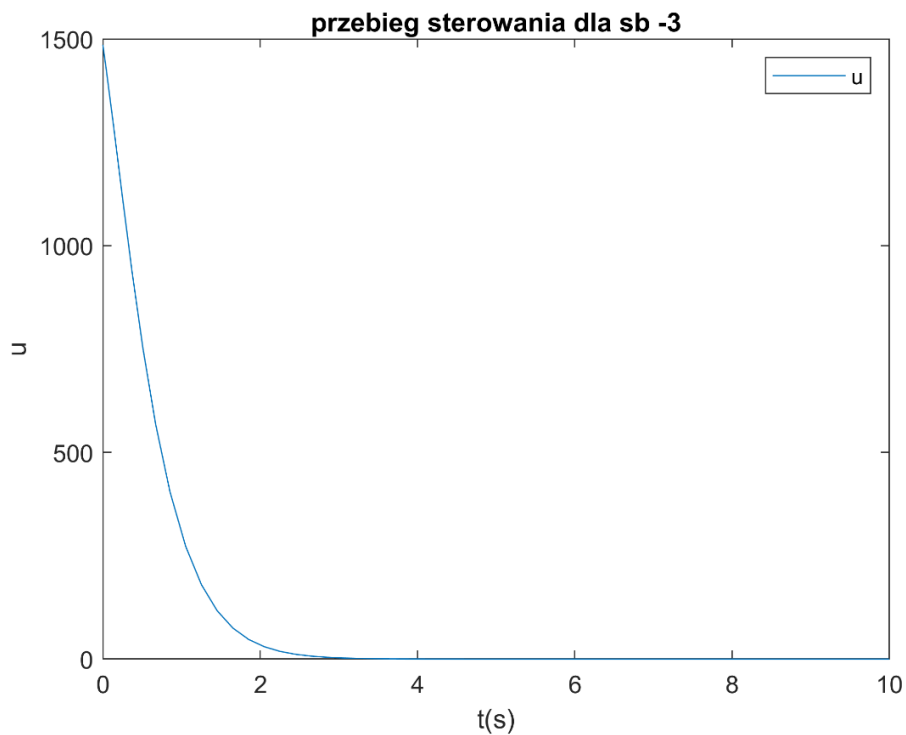
(Poglądowy przebieg dla pełnego czasu regulacji układu z wolnym biegunem)

Przebiegi dla bieguna średniego  $s_b = -3$



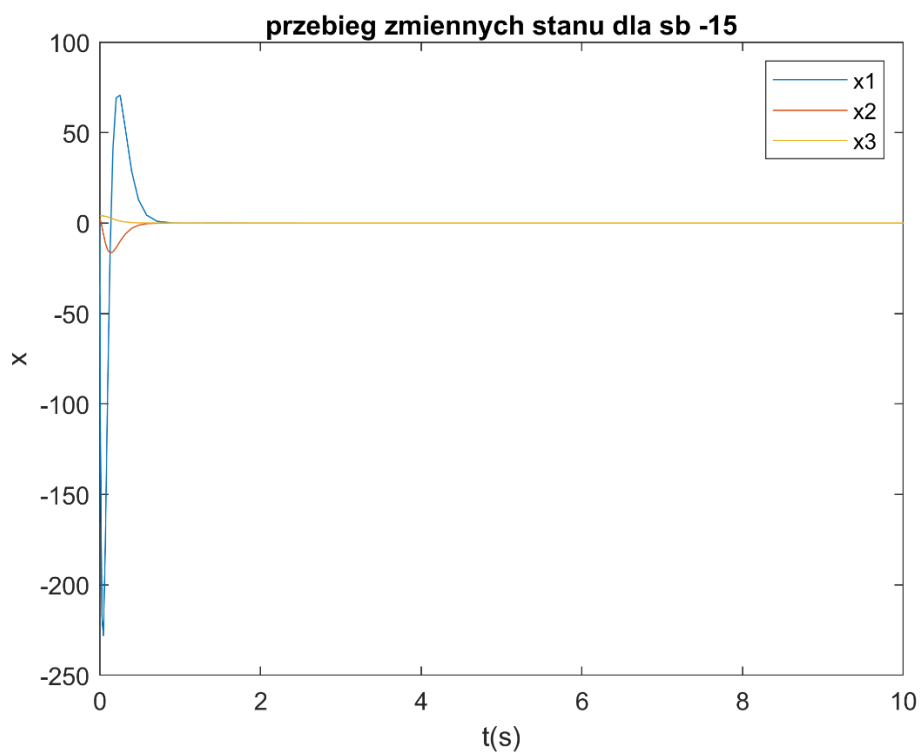
**Rys 10a.** Przebieg zmiennych stanu dla bieguna średniego

Przebieg sterowania dla bieguna średniego  $s_b = -3$



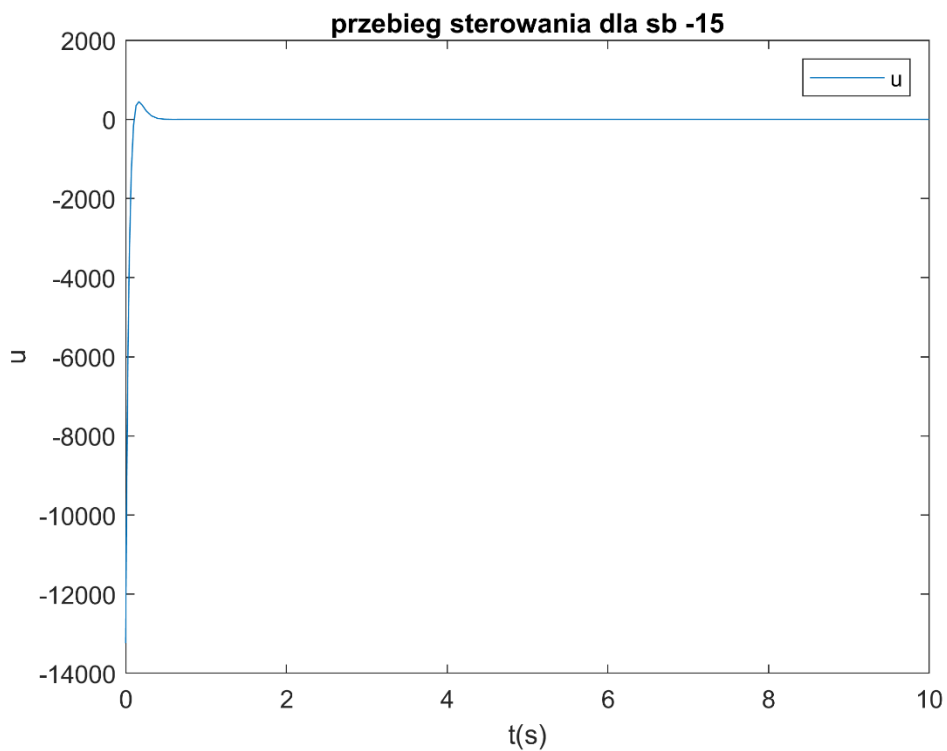
**Rys 10b.** Przebieg sterowania dla bieguna średniego

Przebiegi dla bieguna szybkiego  $s_b = -15$



**Rys 11a.** Przebieg zmiennych stanu dla bieguna szybkiego

Przebieg sterowania dla bieguna szybkiego  $s_b = -15$



**Rys 11b.** Przebieg sterowania dla bieguna szybkiego

## Ocena jakości regulacji:

Biegun wolny przedstawiony na **Rys. 9** miał najwolniejszy czas regulacji wynoszący 100 sekund. Przebiegi zmiennych stanu stanowczo odbiegały od wartości początkowych.

Biegun średni przedstawiony na **Rys. 10** miał akceptowalny czas regulacji wynoszący 4 sekundy. Przebiegi zmiennych stanu nie odbiegały znacząco od wartości początkowych.

Biegun szybki przedstawiony na **Rys. 11** miał najszybszy czas regulacji wynoszący 1 sekundę. Przebiegi zmiennych stanu stanowczo odbiegały od wartości początkowych.

Pod względem sterowania pozytywnie wyróżniał się biegun średni, dla zarówno bieguna szybkiego oraz wolnego sterowanie sięgało wartości rzędu  $10^5$ , gdy dla bieguna średniego maksymalna wartość to „tylko” 1500.

Ze względu na akceptowalny czas regulacji oraz brak znaczącego odbiegania wartości zmiennych stanu od wartości początkowych jako zapewniający kompromis między szybkością regulacji a jej jakością wybieram regulator z **średnim biegunem  $s_b = -3$** .

## 5) Wyprowadzenie równań obserwatora pełnego rzędu o potrójnym biegunie $s_o$ .

Równanie wyprowadzam z równań charakterystycznych obserwatora

$$1) \det(sI - A + LC) = 0$$

$$2) (s-s_o)^3 = 0$$

Otrzymałem wartości macierzy L w zależności od wartości bieguna  $s_o$ :

$$L_1 = -\frac{34604 s_o^3}{10725} - \frac{190332 s_o^2}{3575} - \frac{1057556 s_o}{3575} - \frac{2015716}{3575}$$

$$L_2 = \frac{2096 s_o^3}{3575} + \frac{34604 s_o^2}{3575} + \frac{190332 s_o}{3575} + \frac{1057556}{10725}$$

$$L_3 = -\frac{1136 s_o^3}{10725} - \frac{6288 s_o^2}{3575} - \frac{34604 s_o}{3575} - \frac{63444}{3575}$$

Następnie sprawdziłem rozwiązanie numeryczne podstawiając jako  $s_o = -1$

$$L_1 = -318.03$$

$$L_2 = 54.4600$$

$$L_3 = -9.7201$$

Takie same wartości otrzymałem wyliczając wartości elementów wektora L za pomocą polecenia

$$L = \text{acker}(A', C', [s_o \ s_o \ s_o])$$

Ogólny wzór na obliczenie równań obserwatora:

$$\frac{d\hat{x}}{dt} = A\hat{x}(t) + Bu(t) + L(y(t) - C\hat{x}(t))$$

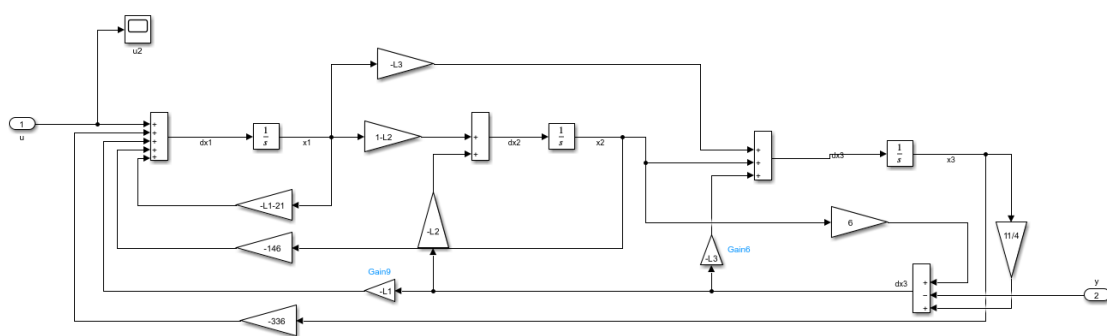
Równania obserwatora pełnego rzędu:

$$\frac{dx_1}{dt} = (-L_1 - 21)x_1 + u - 146x_2 - 336x_3 - L_1 \left( 6x_2 + \frac{11x_3}{4} - y \right)$$

$$\frac{dx_2}{dt} = (1 - L_2) x_1 - L_2 \left( 6 x_2 + \frac{11 x_3}{4} - y \right)$$

$$\frac{dx_3}{dt} = (-L_3) x_1 + x_2 - L_3 \left( 6 x_2 + \frac{11 x_3}{4} - y \right)$$

Schemat obserwatora w simulinku:

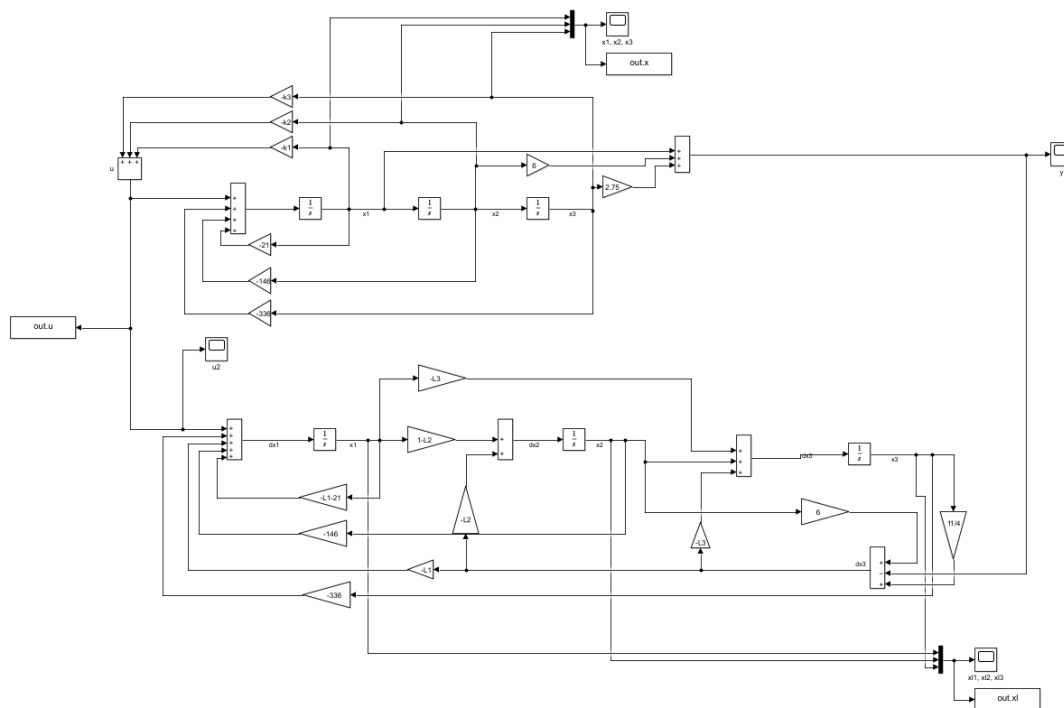


**Rys. 12** Schemat obserwatora, plik obserwator.slx



## 6) Przetestować działanie obserwatora przy regulatorze korzystającym z mierzonego stanu.

Schemat układu w symulinku



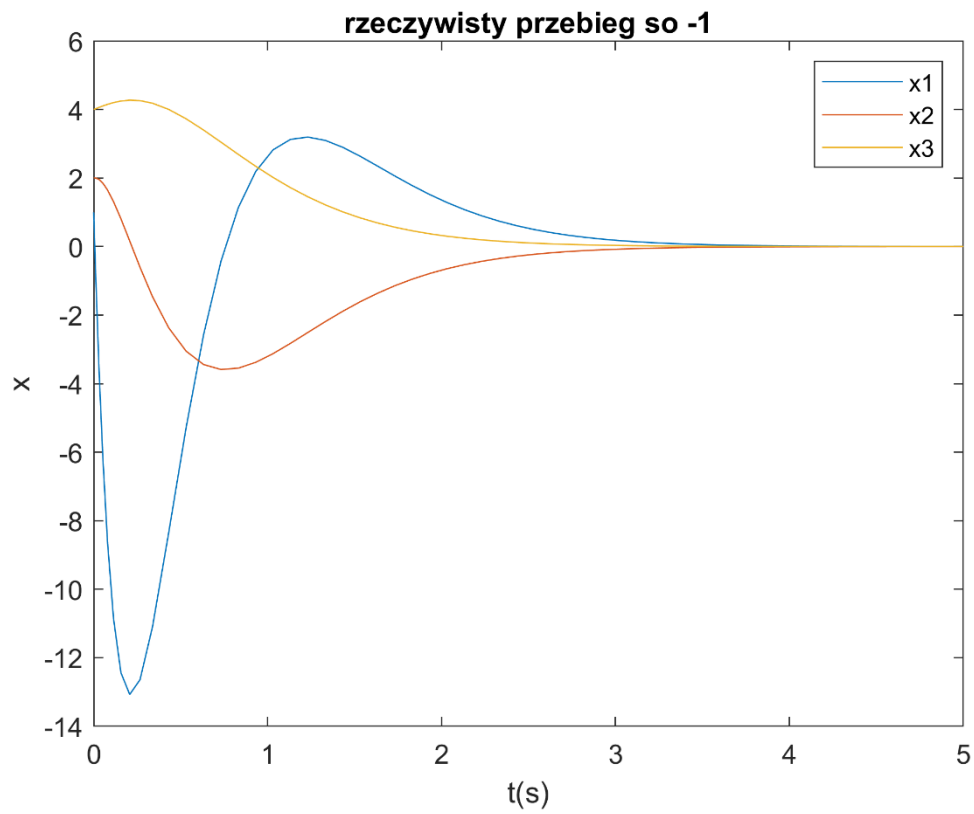
Rys. 13 Schemat układu, plik zad6.slx

Badanie wpływu potrójnego bieguna obserwatora  $s_0$  na jego działanie. **Przyjmuje zerowe warunki początkowe obserwatora oraz warunki początkowe jako  $x = [1 \ 2 \ 4]$ .**

## Biegun średni

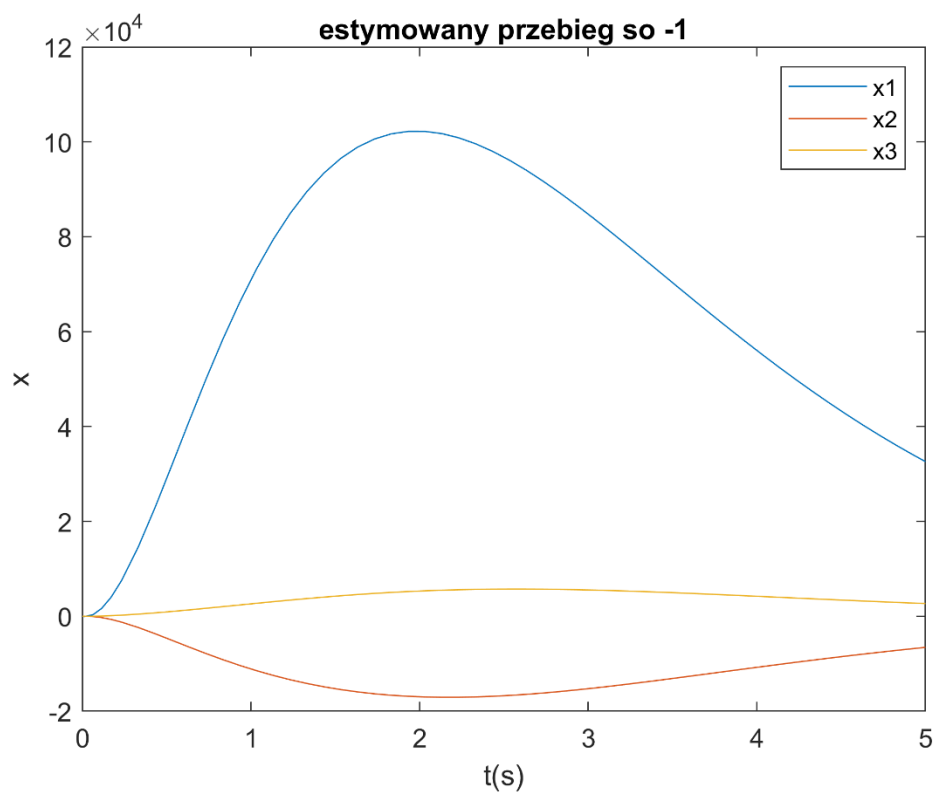
$$S_o = -1$$

Rzeczywiste zmienne stanu:



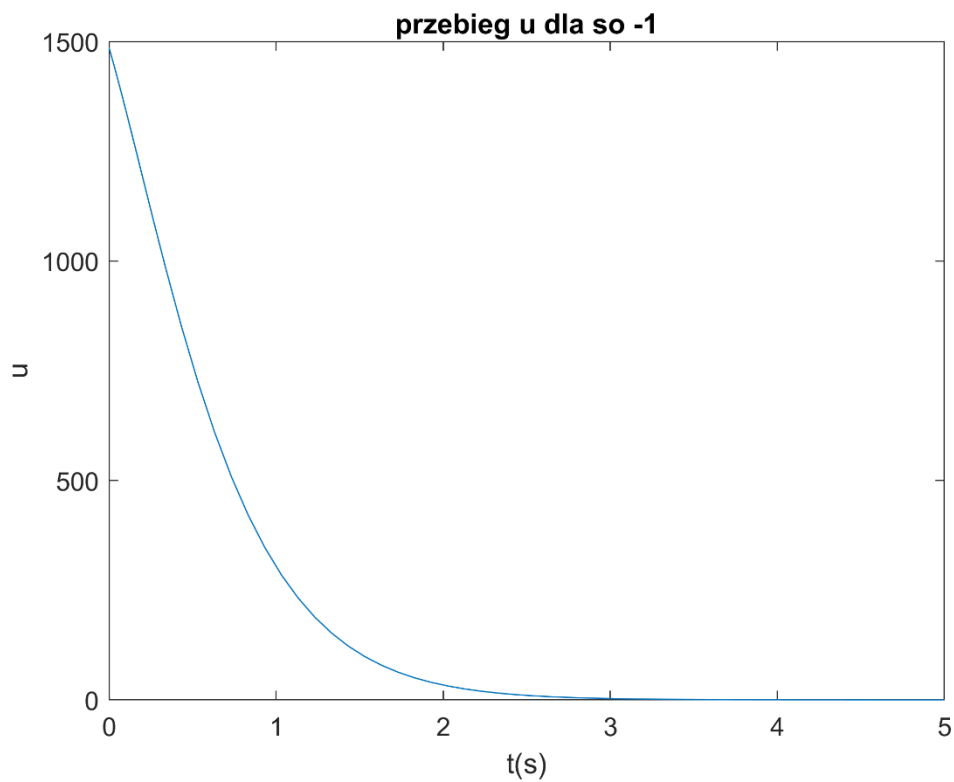
**Rys. 14a** Rzeczywiste zmienne stanu dla  $s_b = -3$

## Estymowane zmienne stanu



**Rys. 14b** Estymowane zmienne stanu dla  $s_0 = -1$

## Przebiegi sterowania:

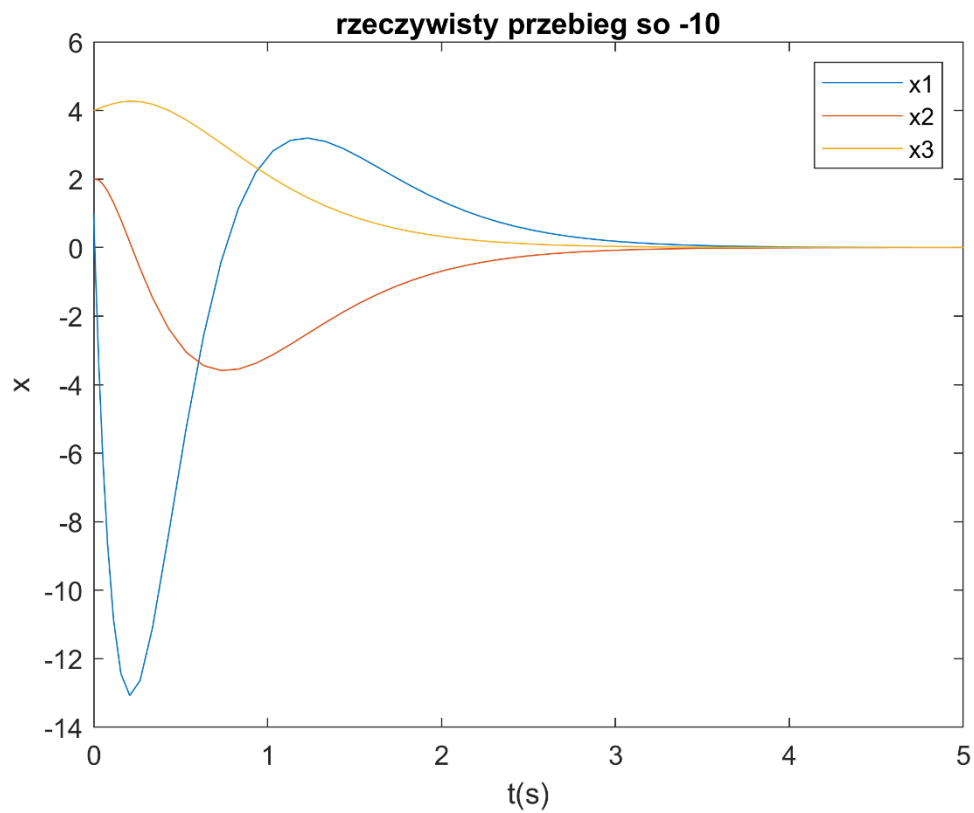


**Rys. 14c** przebieg sterowania dla bieguna obserwatora  $s_0 = -3$

## Biegun szybki

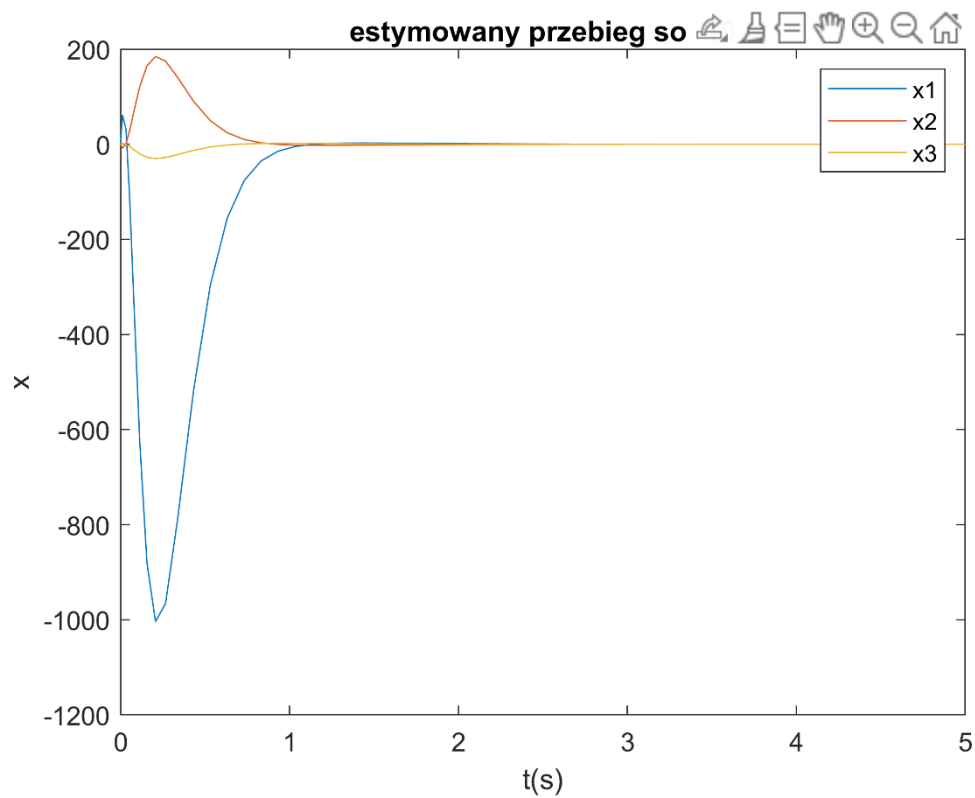
$$S_o = -10$$

Rzeczywiste zmienne stanu:



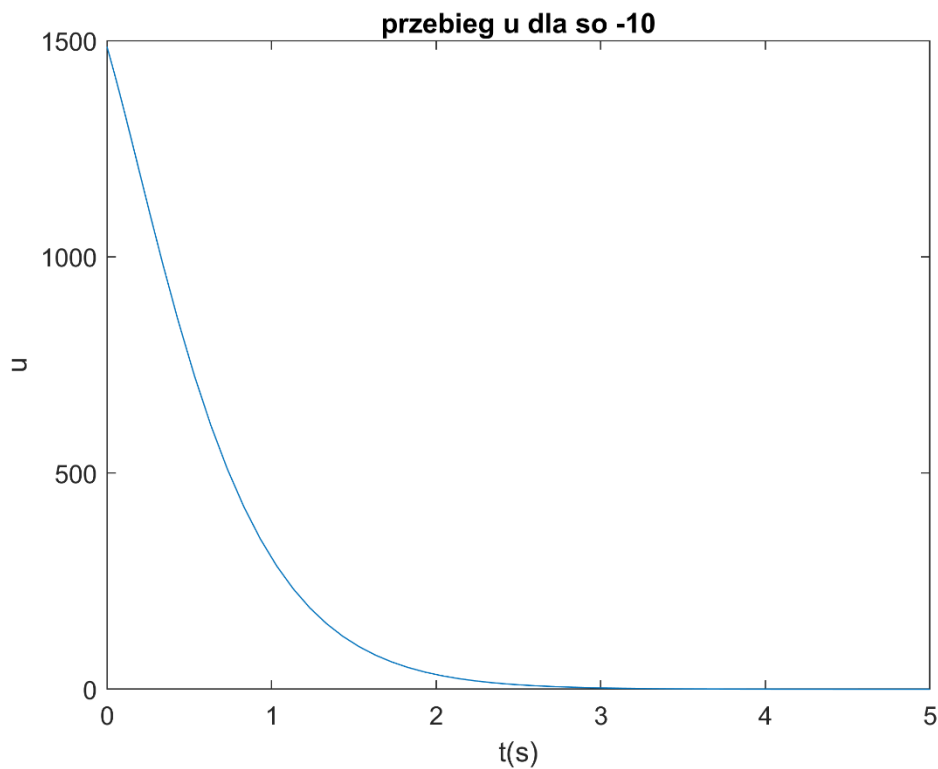
**Rys. 15a** Rzeczywiste zmienne stanu dla  $s_b = -3$

## Estymowane zmienne stanu



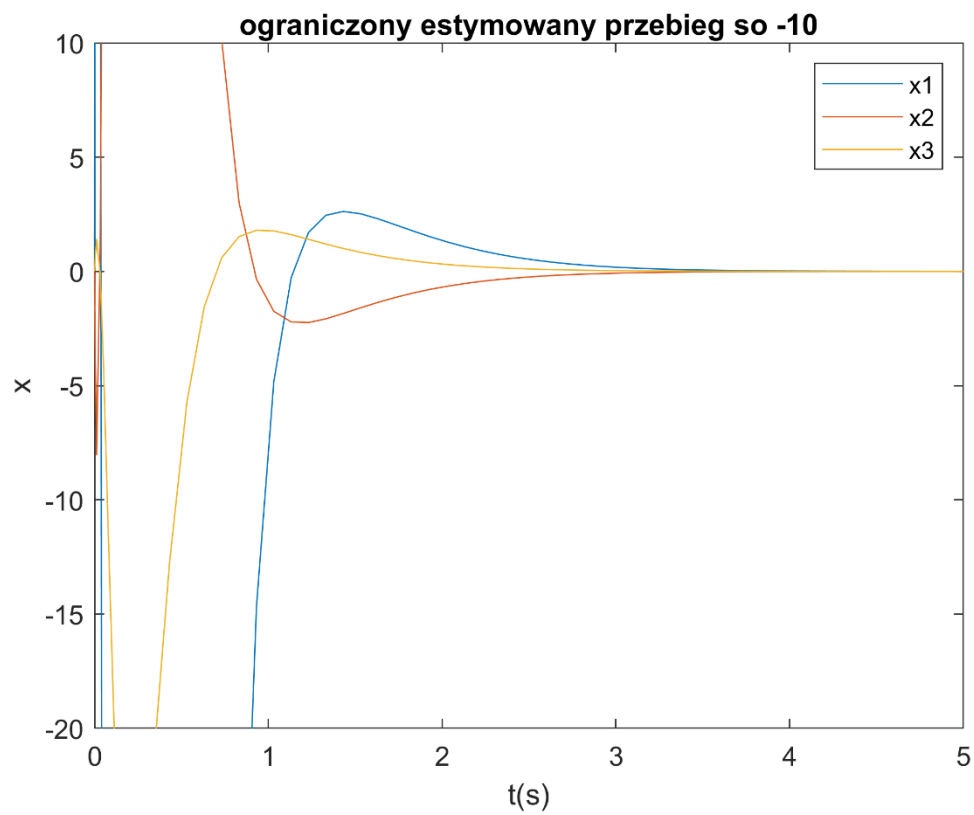
**Rys. 15b** Estymowane zmienne stanu dla  $s_0 = -10$

## Przebiegi sterowania:



**Rys. 15c** przebieg sterowania dla biegunu obserwatora  $s_0 = -10$

**Powiększony estymowany przebieg:**

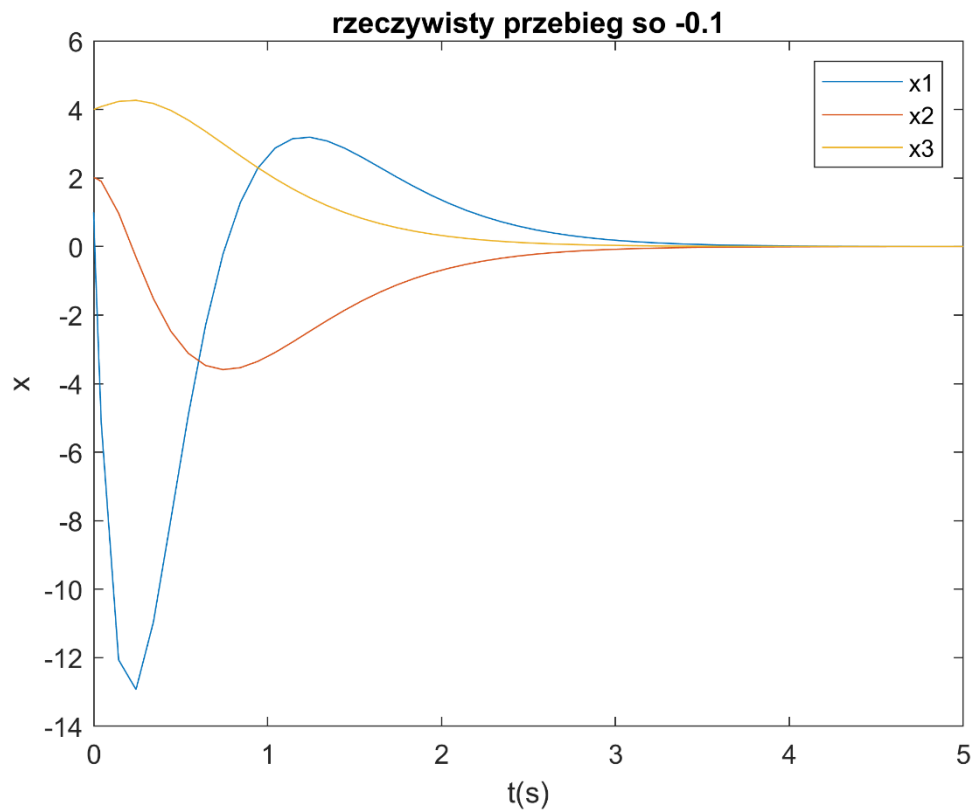


**Rys. 15d** Powiększone w celach estetycznych estymowane zmienne stanu dla  $s_0 = -10$

## Biegun wolny

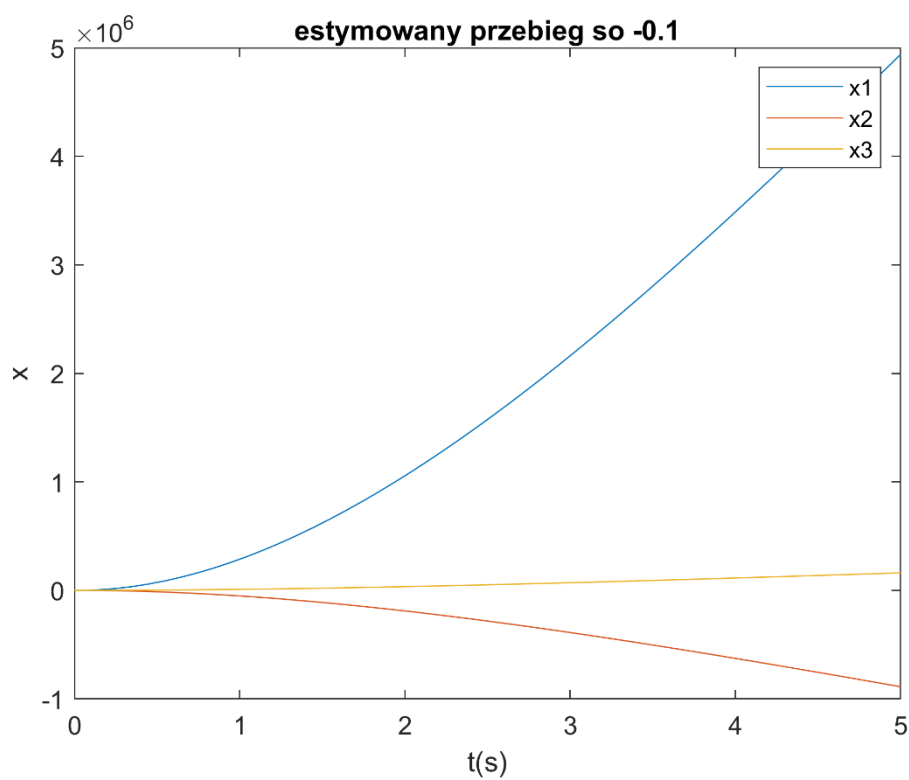
$$S_o = -0,1$$

Rzeczywiste zmienne stanu:



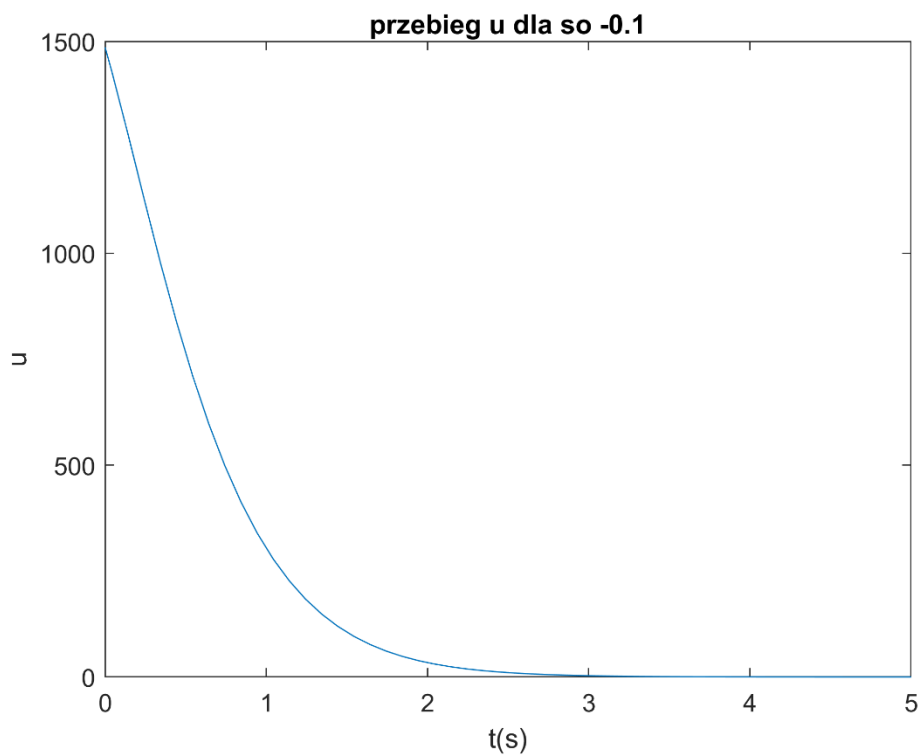
**Rys. 16a** Rzeczywiste zmienne stanu dla  $s_b = -3$

Estymowane zmienne stanu:



**Rys. 16b** Estymowane zmienne stanu dla  $s_0 = -0,1$

Przebiegi sterowania:



**Rys. 16c** przebieg sterowania dla bieguna obserwatora  $s_0 = -0,1$



## Wnioski:

Biegun szybki o wartości  $S_o = -10$  prawidłowo estymował zmienne stanu po pewnym czasie, początkowo jednak wartości przez niego generowane były niepoprawne.

Wynika to z różnicy w wartościach początkowych układów, obserwator zaczynał pracę z zerowych warunków początkowych.

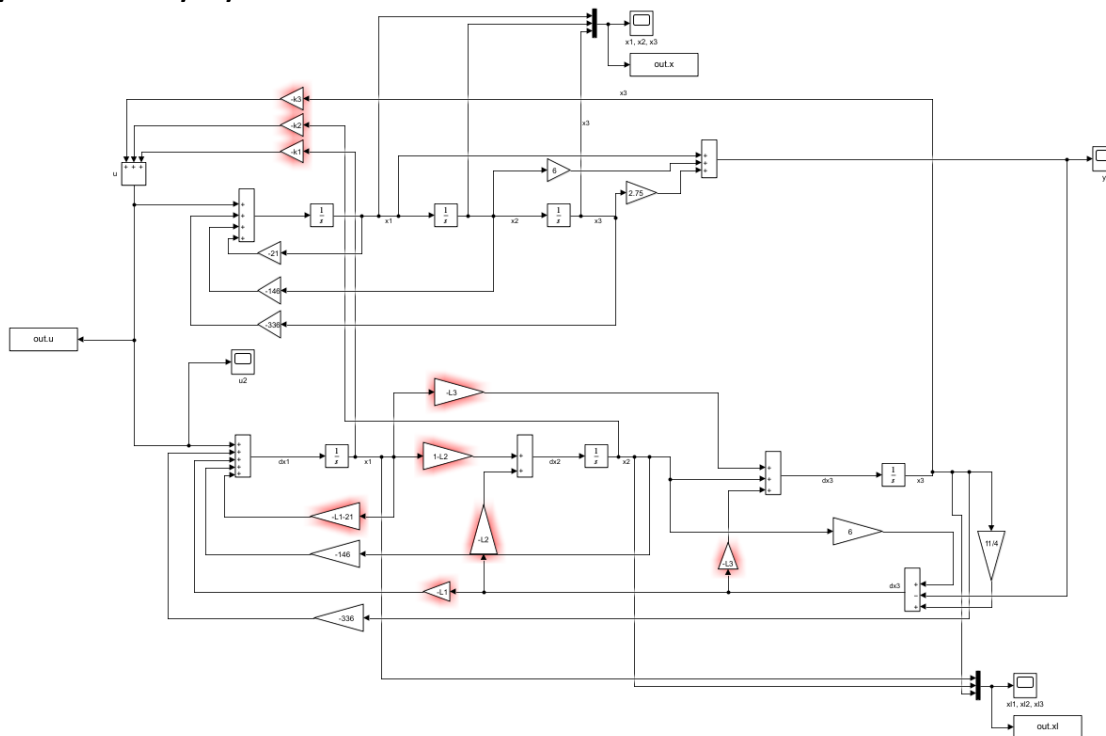
Po przybliżeniu przebiegu widać, że po upływie 1 sekundy zarówno biegun szybki jak i średni prawidłowo odwzorowują zmienne stanu.

Bieguny wolny oraz średni za wolno estymowały zmienne stanu, nie byłyby wystarczające do estymacji stanu obiektu.

Warto również zauważyć, że szybkość bieguna obserwatora nie ma wpływu na wartość sterowania  $u$ , przez co nie generuje problemów, w przeciwieństwie do biegunów regulatora, które mają bezpośredni wpływ na wartość  $u$ .

## 7) Przetestować działanie obserwatora gdy brak jest pomiaru zmiennych stanu

Symulowany system:

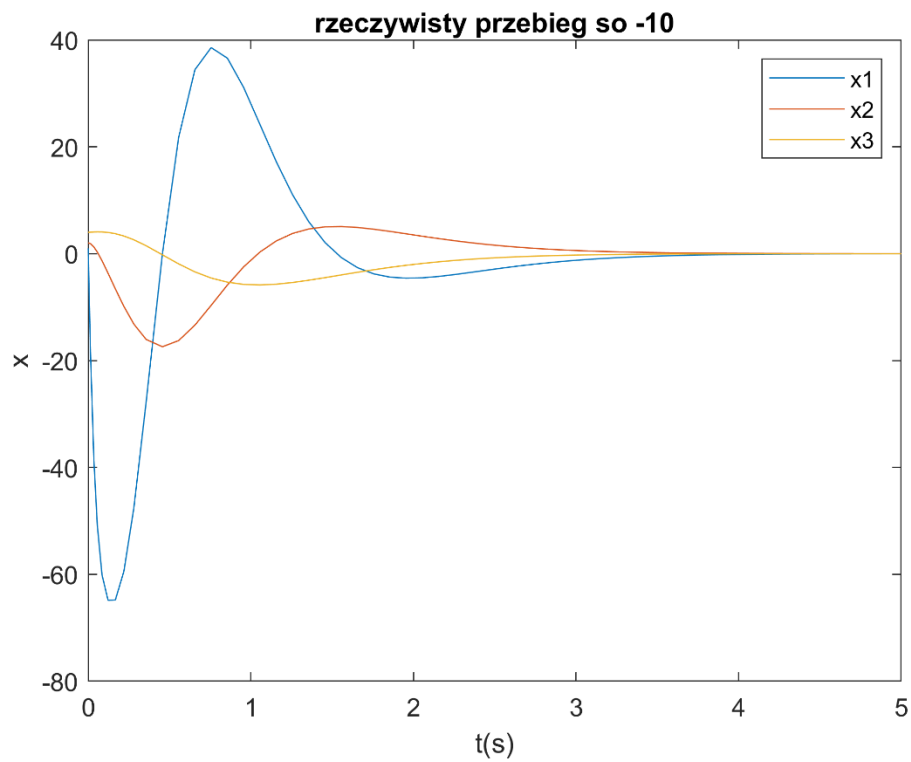


**Rys. 17** symulowany system (regulator podłączony do obserwatora) plik: zad7.slx

## Biegun szybki

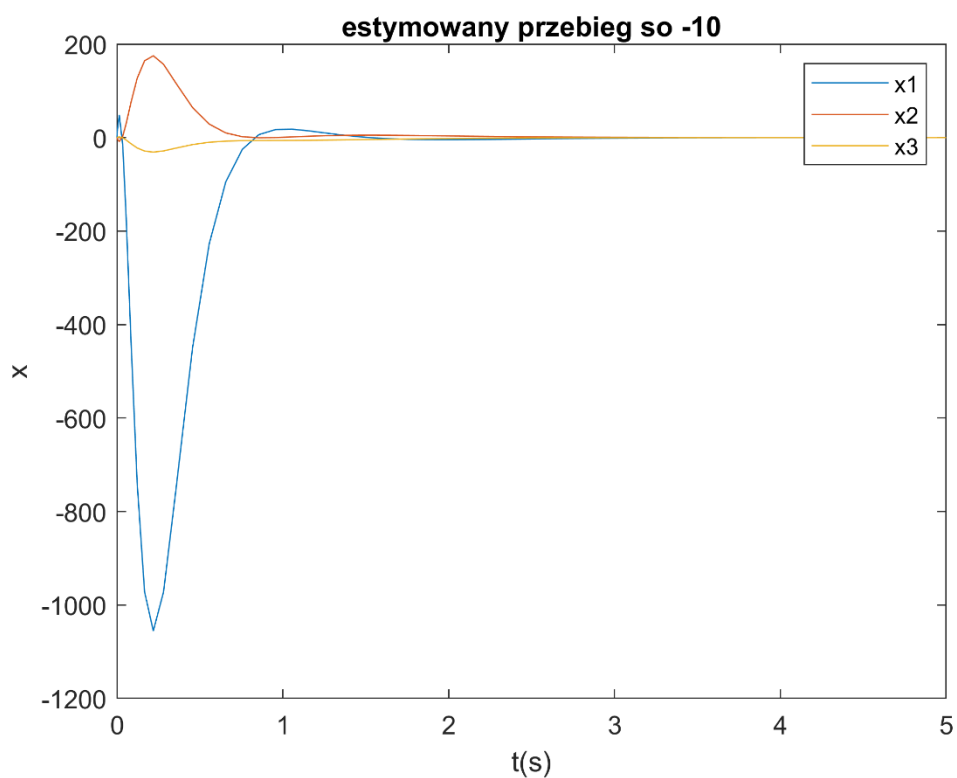
$$S_o = -10$$

Przebieg zmiennych stanu:



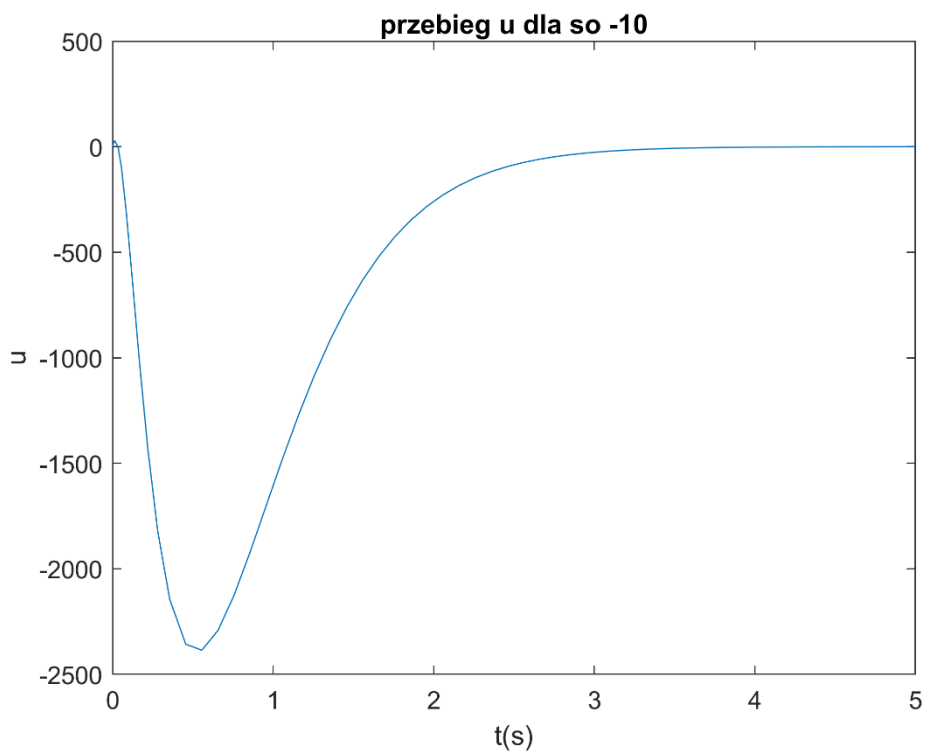
**Rys. 18a** Rzeczywiste zmienne stanu dla  $s_b = -3$

Przebieg estymowanych zmiennych stanu:



**Rys. 18b** Estymowane zmienne stanu dla  $s_0 = -10$

Przebieg sterowania:

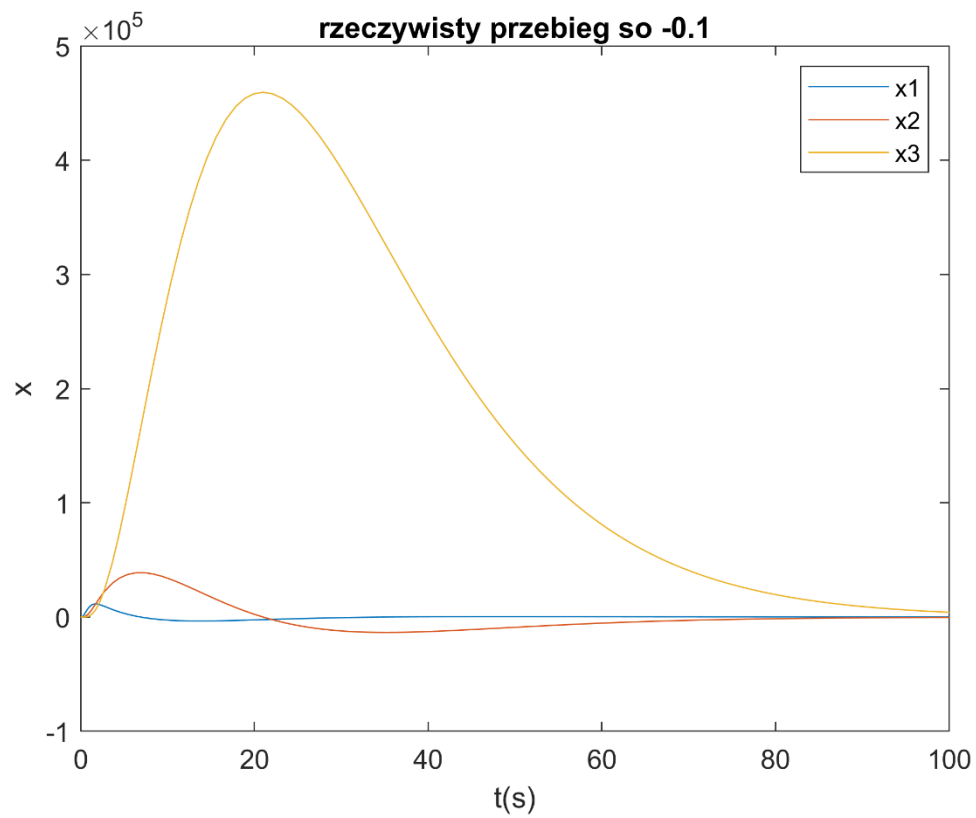


**Rys. 18c** Przebieg sterowania dla  $s_0 = -10$

## Biegun wolny

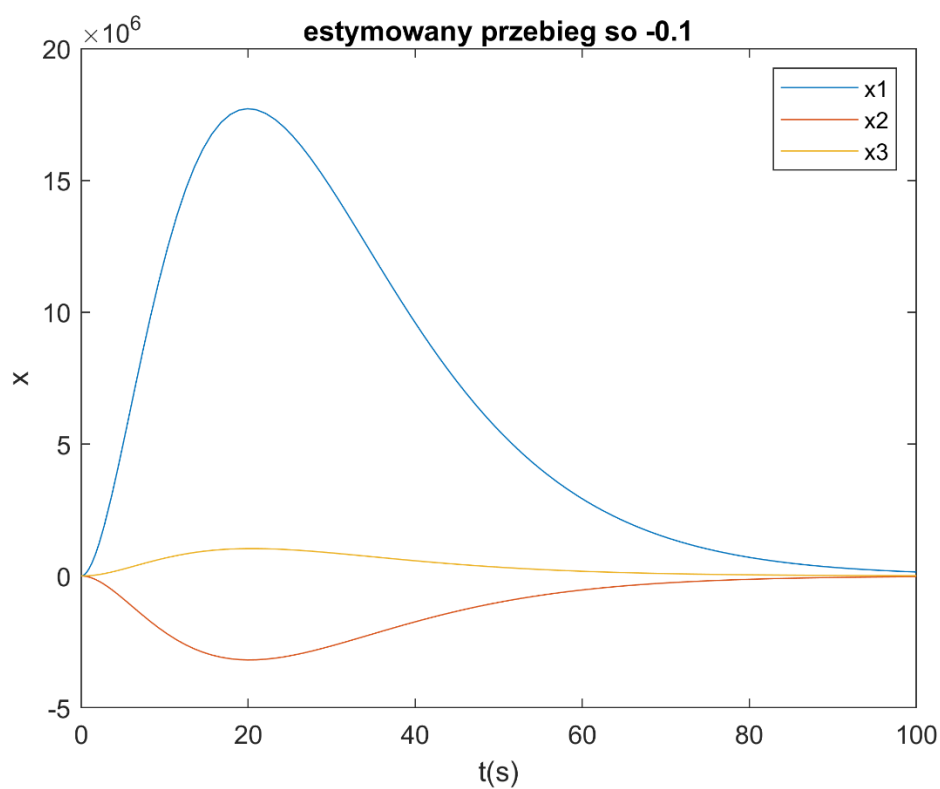
$$S_o = -0.1$$

Przebieg zmiennych stanu:



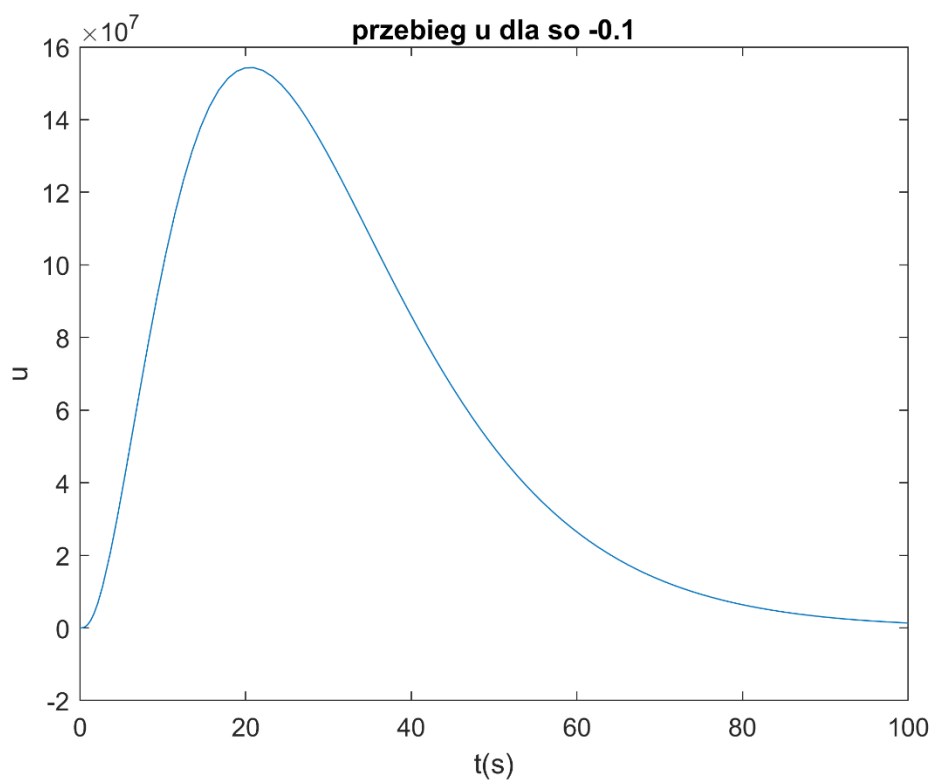
**Rys. 19a** Rzeczywiste zmienne stanu dla  $s_b = -3$

Przebieg estymowanych zmiennych stanu:



**Rys. 19b** Estymowane zmienne stanu dla  $s_0 = -0.1$

Przebieg sterowania:



**Rys. 19c** Przebieg sterowania dla  $s_0 = -0.1$

## **Wnioski:**

Układ działający z szybkim obserwatorem osiągnął zadowalające rezultaty, sprowadził zmienne stanu do zera w czasie 4 sekund.

W tym przypadku bieguny obserwatora mają znaczący wpływ na wartość sterowania, ponieważ obserwator bezpośrednio wpływa na regulator ze sprzężeniem do stanu.

Układ działający z wolnym obserwatorem również osiągnął zadowalające rezultaty, lecz w dłuższym czasie.

### Zadanie dodatkowe:

Zaprojektować regulator ze sprzężeniem do stanu i całkowaniem.

Model wyjściowy obiektu:

$$\dot{x} = Ax + Bu$$

$$y = Cx + Du$$

Macierzy pierwotne:

$$A_1 = \begin{bmatrix} -21 & -146 & -336 \\ 1 & 0 & 0 \\ 0 & 1 & 0 \end{bmatrix} \quad B_1 = \begin{bmatrix} 1 \\ 0 \\ 0 \end{bmatrix} \quad C = [1 \quad 6 \quad 2,75] \quad D = 0$$

Należy wyznaczyć macierze  $A_r$ ,  $B_r$  oraz  $E_r$  w których zostanie uwzględniony dodatkowy stan  $x_e$ .

Macierze  $C$  oraz  $D$  pozostają bez zmian

$$A_r = \begin{bmatrix} -21 & -146 & -336 & 0 \\ 1 & 0 & 0 & 0 \\ 0 & 1 & 0 & 0 \\ -1 & -6 & -2,75 & 0 \end{bmatrix} \quad B_r = \begin{bmatrix} 1 \\ 0 \\ 0 \\ 0 \end{bmatrix} \quad E_r = \begin{bmatrix} 0 \\ 0 \\ 0 \\ 1 \end{bmatrix}$$

Model wyjściowy regulatora ze sprzężeniem od stanu i całkowaniem:

$$\dot{x} = A_r x + B_r u + E_r y_{\text{zad}}$$

$$y = Cx + Du$$

Prawo regulacji:

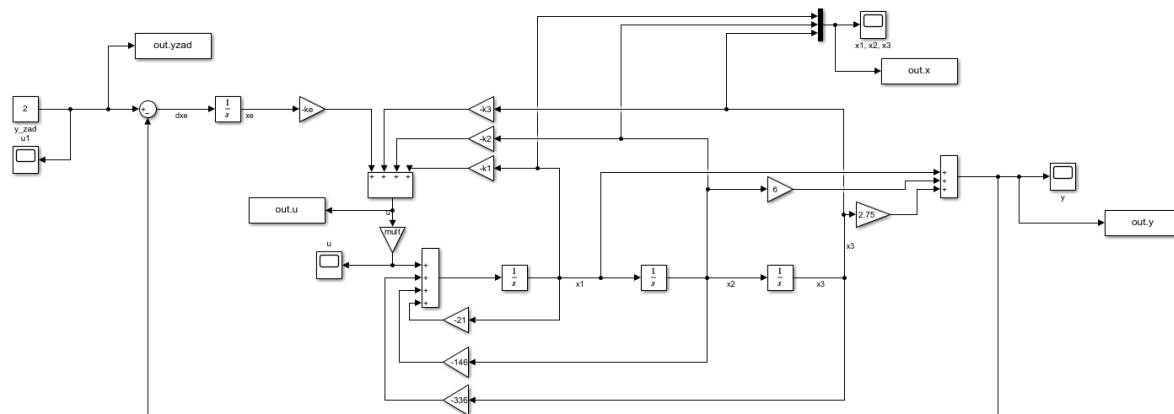
$$u(t) = -[K_1 \ K_2 \ K_3 \ K_e] \cdot [x_1 \ x_2 \ x_3 \ x_e]^T$$

Współczynniki macierzy  $K$  wyznaczona za pomocą polecenia acker:

$$K = \text{acker}(A, B, [sb \ sb \ sb \ sb]);$$



Rysunek regulatora z całkowaniem: (wartość zmiennej mult = 1)

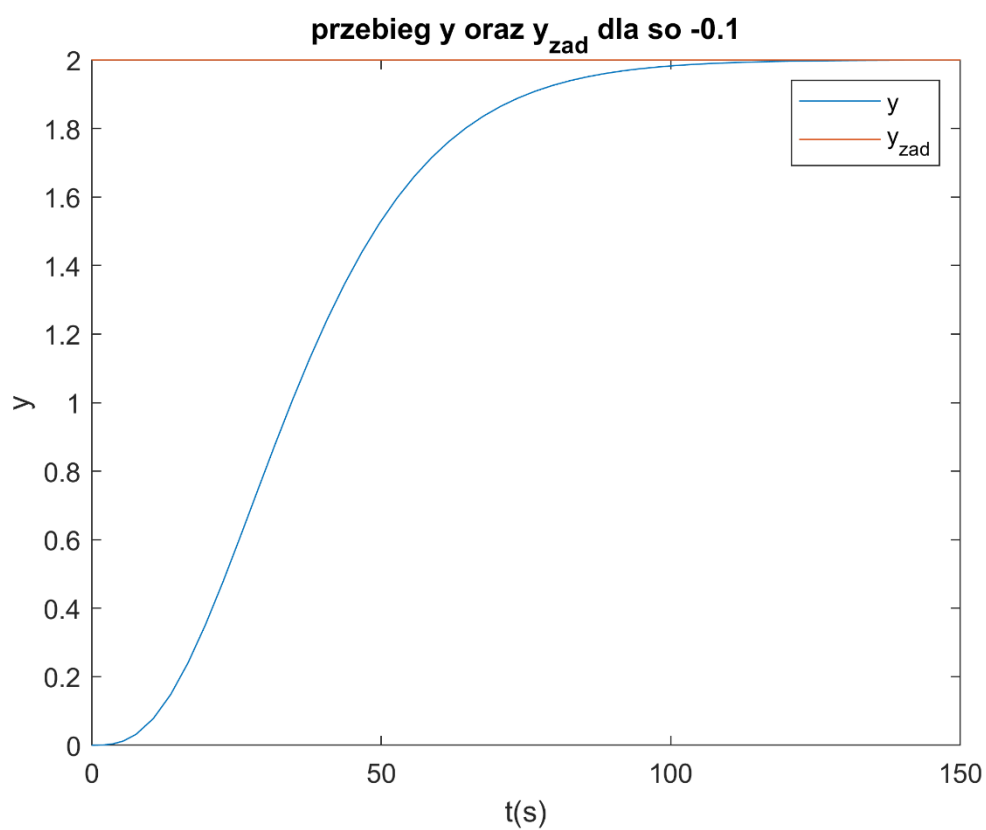


**Rys. 20** Regulator z całkowaniem plik: reg\_z\_calk.slx

Dla biegunu wolnego

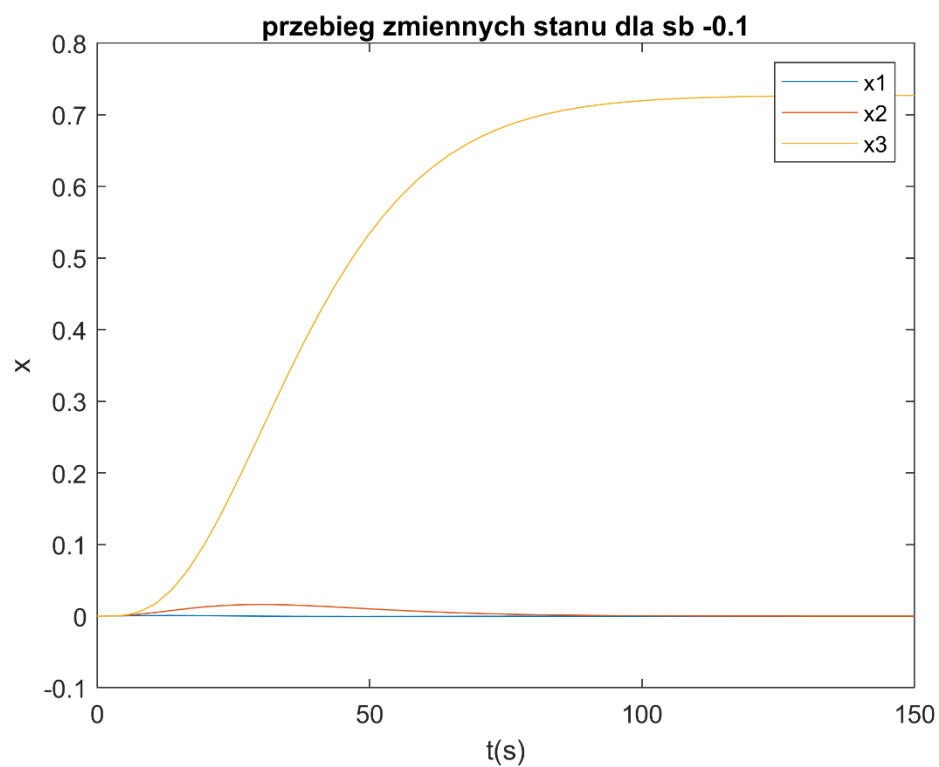
$$s_b = -0.1$$

Przebieg wartości wyjścia:



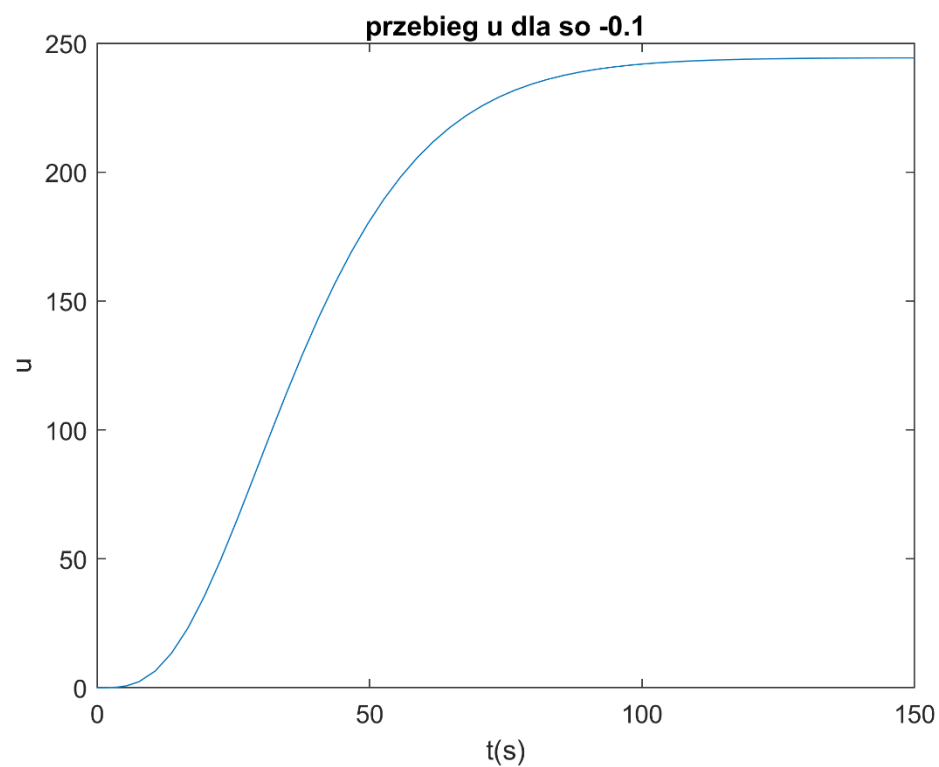
**Rys. 21a** Przebieg y oraz  $y_{zad}$

Przebiegi zmiennych stanu:



**Rys. 21b** Przebieg zmiennych stanu

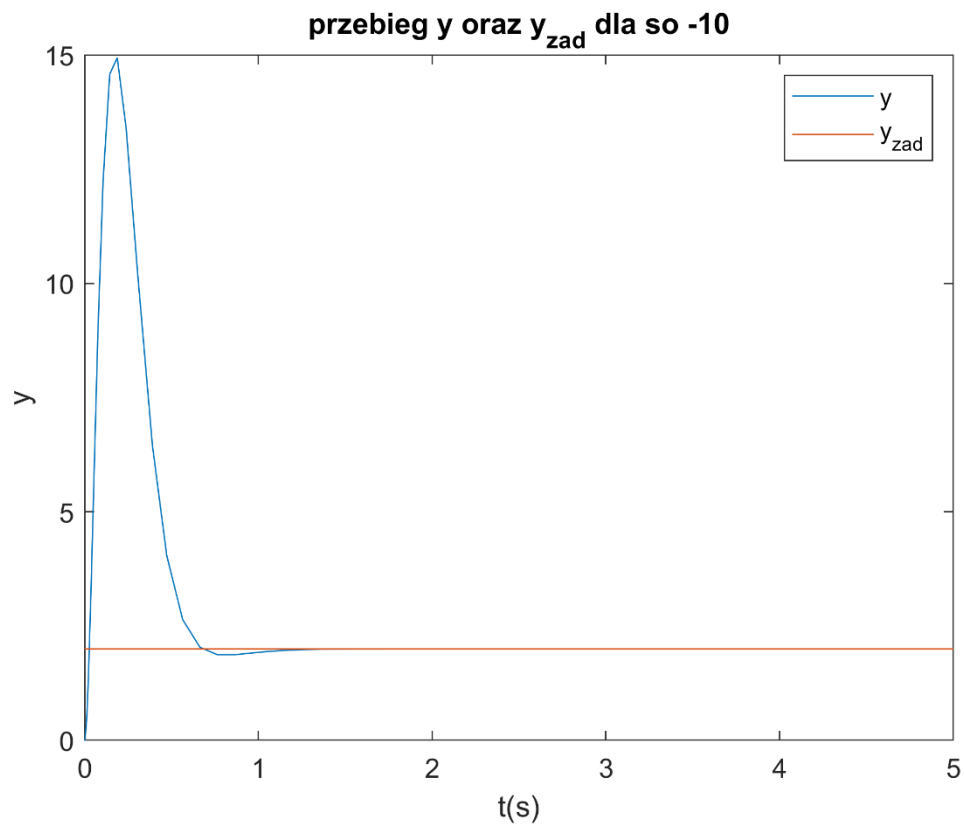
Przebieg sterowania:



**Rys. 21c** Przebieg sterowania

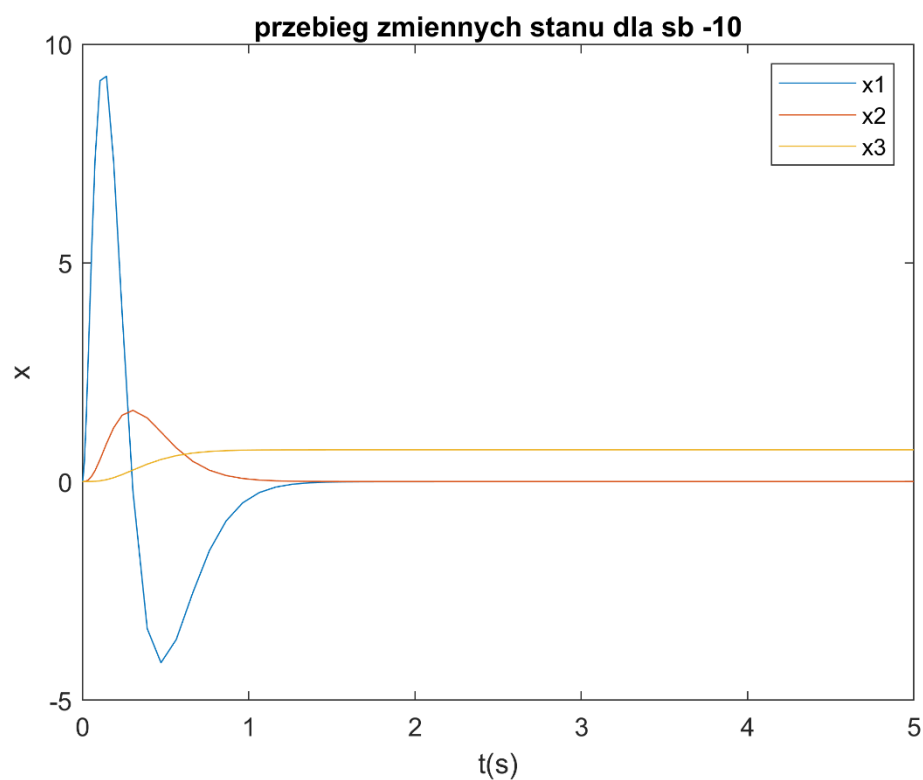
Dla bieguna szybkiego  
 $s_b = -10$

Przebieg wartości wyjścia:



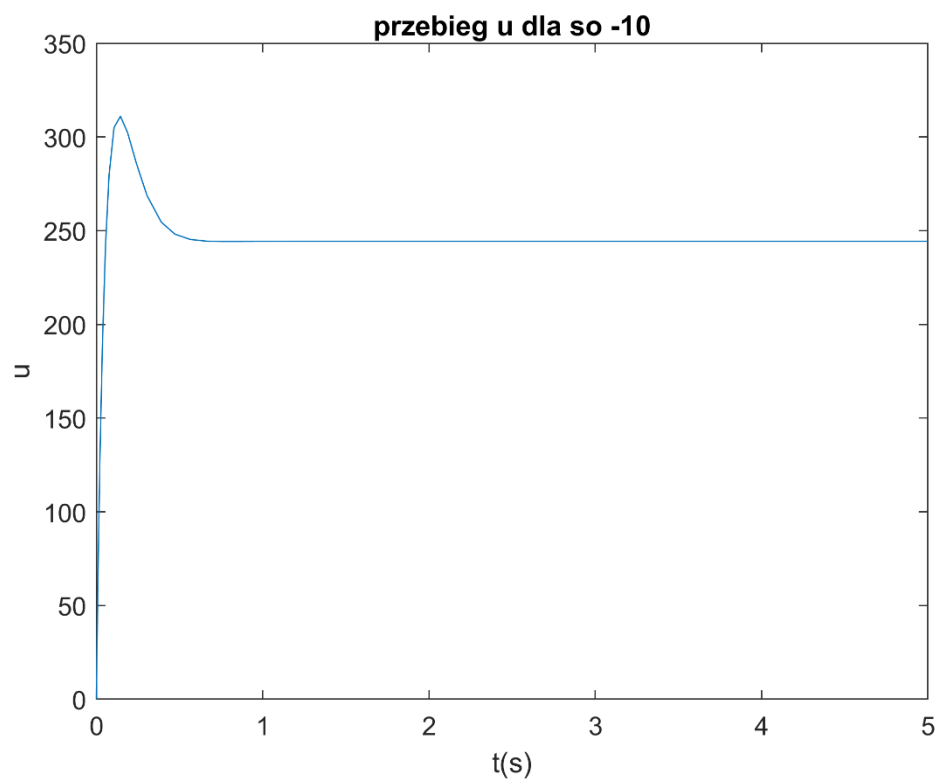
**Rys. 22a** Przebieg  $y$  oraz  $y_{zad}$

Przebiegi zmiennych stanu:



**Rys. 22b** Przebieg zmiennych stanu

Przebieg sterowania:



**Rys. 22c** Przebieg sterowania

Przypadek zwiększenia wartości macierzy B o 30%  
zmienna mult = 1.3  
(wartości parametrów wyliczane w pliku zad\_dod.m)

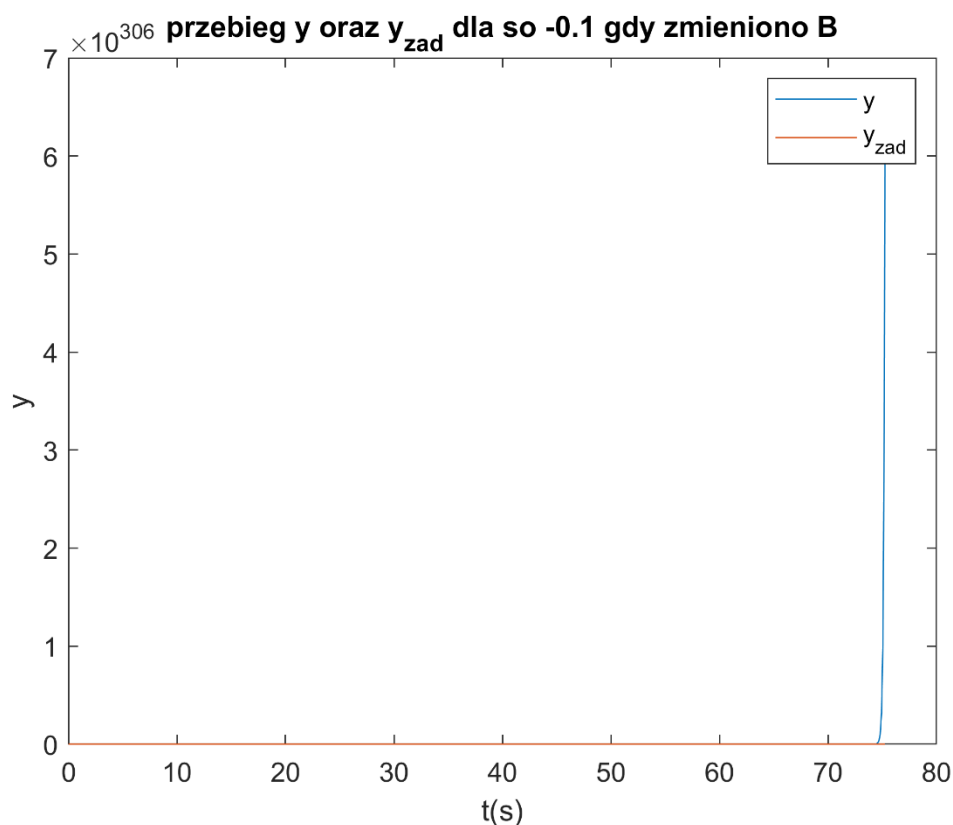
Dla bieguna wolnego  
 $s_b = -0.1$

Podczas próby symulacji występuje taki błąd:



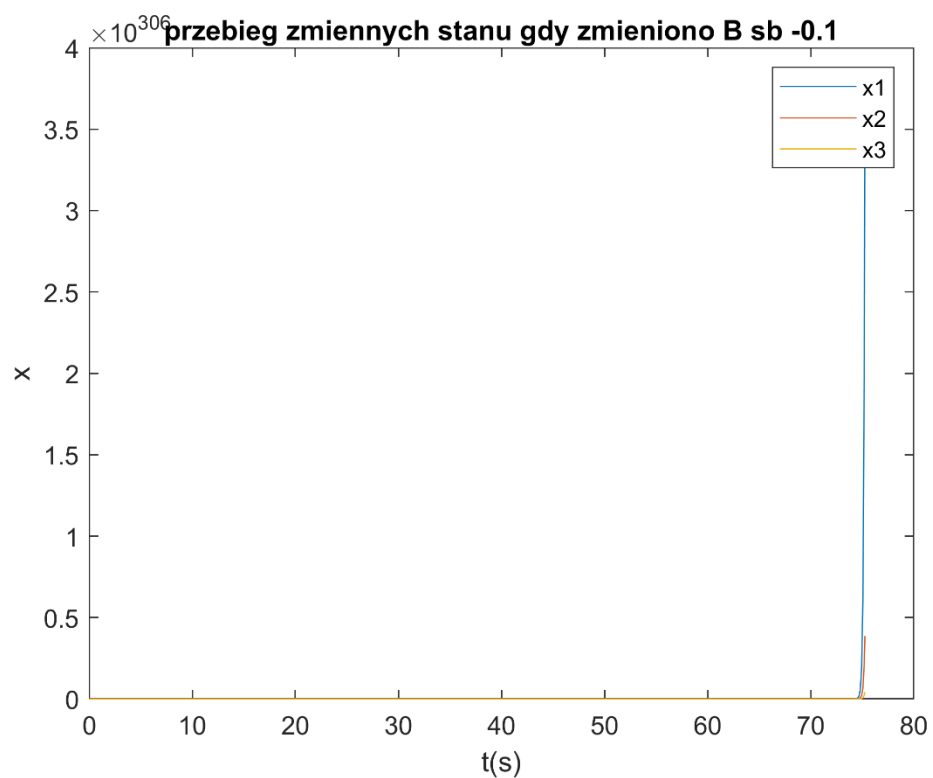
Prawdopodobnie jest on spowodowany osiągnięciem dużych wartości przez symulowane zmienne, tak prezentują się przebiegi, gdy czas symulacji ograniczyłem do 75.

Przebieg wartości wyjścia:



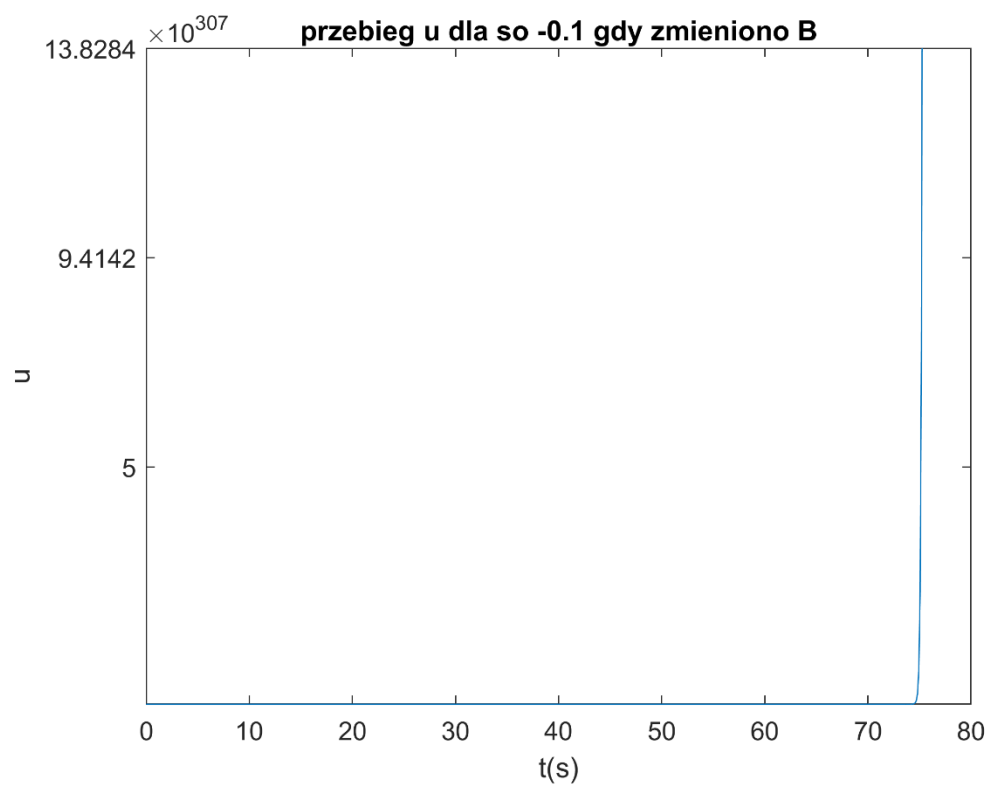
**Rys. 23a** Przebieg y oraz  $y_{\text{zad}}$

Przebiegi zmiennych stanu:



**Rys. 23b** Przebieg zmiennych stanu

Przebieg sterowania:

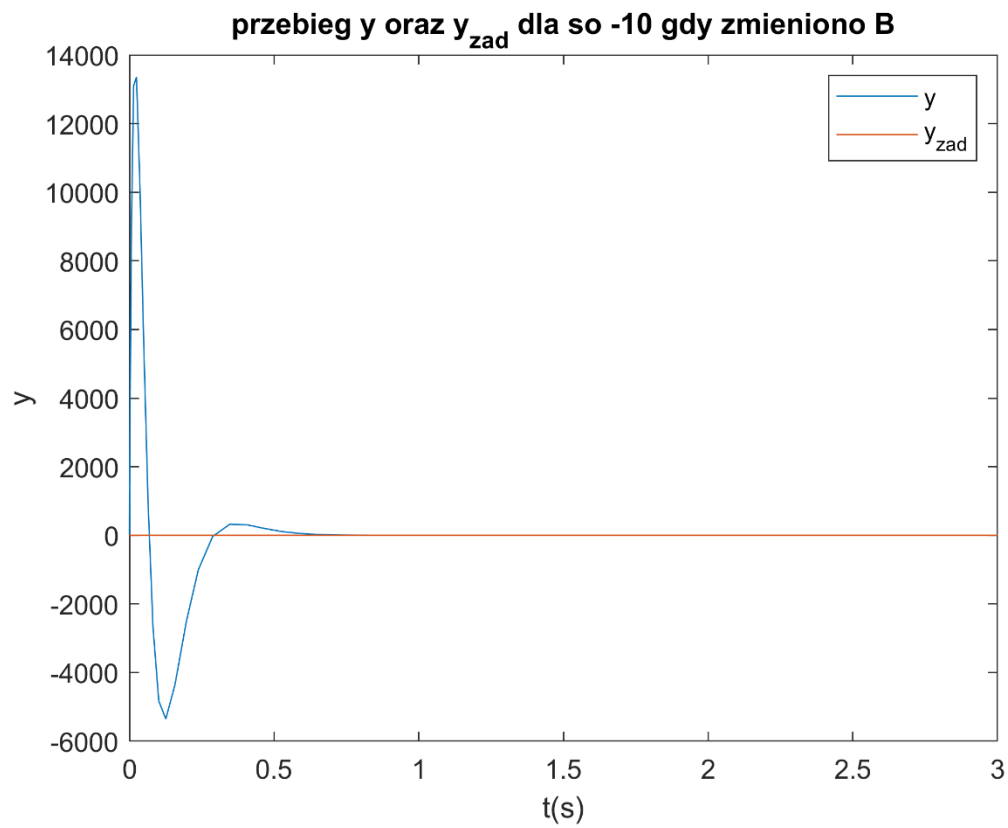


**Rys. 23c** Przebieg sterowania

Dla bieguna szybkiego

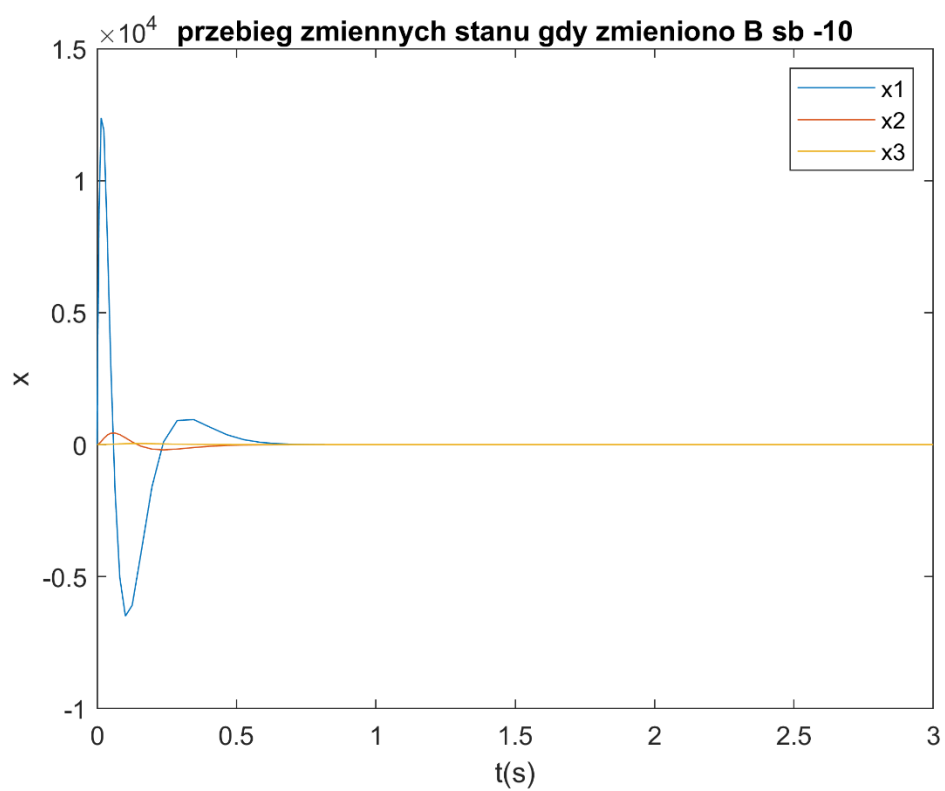
$$s_b = -10$$

Przebieg wartości wyjścia:



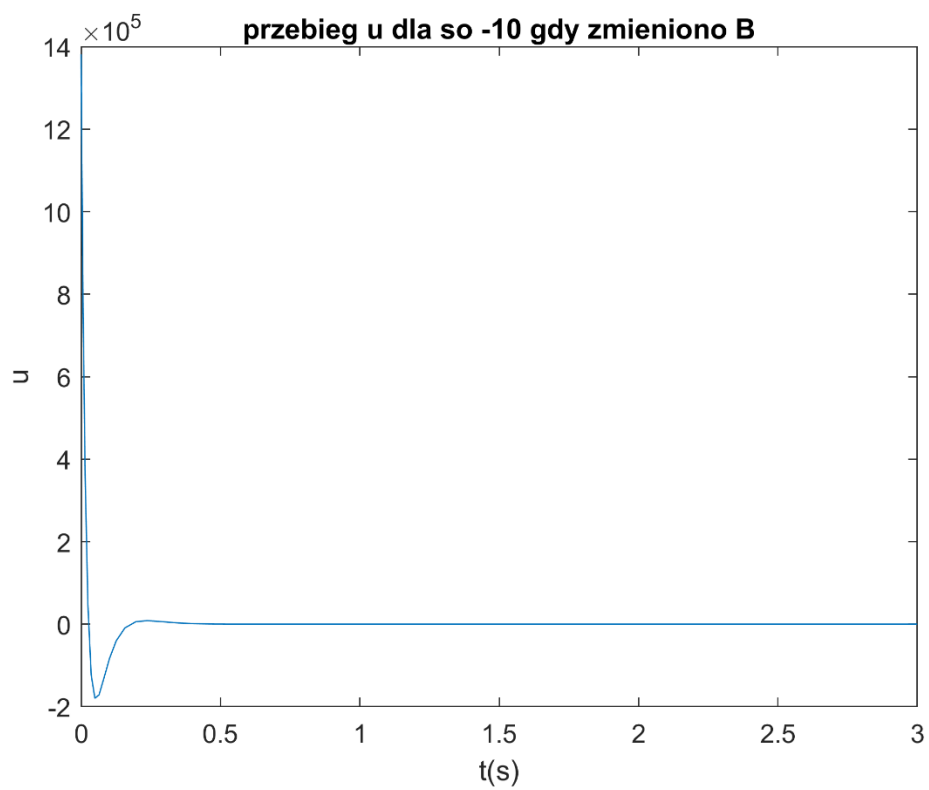
**Rys. 24a** Przebieg  $y$  oraz  $y_{zad}$

Przebiegi zmiennych stanu:



**Rys. 24b** Przebieg zmiennych stanu

Przebieg sterowania:



**Rys. 24c** Przebieg sterowania



## Wnioski:

Regulator z całkowaniem działa lepiej dla szybkich biegunów niż dla wolnych. Dla bardzo wolnych biegunów można zauważyć długo utrzymujący się uchyb. Sterowanie dla obu biegunów osiąga podobne rzędy wielkości, dlatego nie jest ono dominującym kryterium decydującym o jakości regulacji przy porównaniu tych dwóch regulatorów.

Gdy zmieniono parametry wektora B:

- regulator z szybkimi biegunami działał gorzej, ale spełniał zadanie, widoczne różnice w wartościach sterowania
- regulator z biegunem wolnym działał znacznie gorzej, nie dążył do zadanej wartości (2), oraz powodował ogromne przeregulowania, ograniczone jedynie ze względu na limity symulacji ( $10^{304}$ )

Jak widać dla szybkich biegunów układ jest w dobrym stopniu odporny na zmiany modelu (w tym wypadku zmiany wartości macierzy B), natomiast dla wolnych biegunów zmiany modelu powodują niepoprawne działanie układu.